

# Optimisation du facteur de mérite : l'exemple des oxydes de cobalt

S. Hébert

Laboratoire CRISMAT  
UMR6508 CNRS et ENSICAEN

GDR Thermoélectricité, Nancy, juillet 2009



# Plan de l'exposé

- **Introduction : comment augmenter ZT?**

## ↳ **Nanostructuration**

Augmentation du facteur de puissance  
+ réduction de la conductivité thermique

## ↳ **Réduction de la conductivité thermique**

## ↳ **Corrélations électroniques**

Augmentation du facteur de puissance

- **Les oxydes de cobalt  
à structure lamellaire désaccordée**

$$ZT = \frac{S^2 T}{\rho \kappa} = \frac{S^2 T}{\rho (\kappa_e + \kappa_l)}$$

- **Formule de Mott** :  $S = \frac{\pi^2 k_B^2}{3e} T \left( \frac{\partial \ln \sigma(E)}{\partial E} \right)_{E=E_F}$

$$\sigma(E) = en(E) \mu(E)$$

S dépend de  $n(E)$ , et de la position de  $E_F$

- **Résistivité** :  $\rho^{-1} = en(E) \mu(E)$

Forte mobilité

- **Conductivité thermique**

Terme électronique lié à  $\rho^{-1}$  (Wiedemann Franz)

Terme de réseau à minimiser

$$ZT = \frac{S^2 T}{\rho \kappa} = \frac{S^2 T}{\rho (\kappa_e + \kappa_l)}$$

‘PGEC’

Phonon glass – Electron crystal

Découplage électrons – phonons?

*G. Slack, Handbook of Thermoelectricity (1995)*

Facteur de puissance

Modification de DOS

↳ Nanostructuration

↳ Corrélations électroniques

Conductivité thermique

phononique

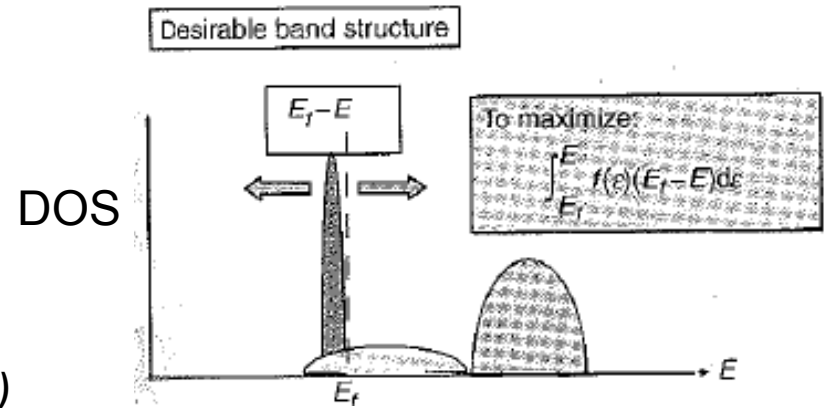
↳ ‘Rattling’

↳ Nanostructuration

# Nanostructuration

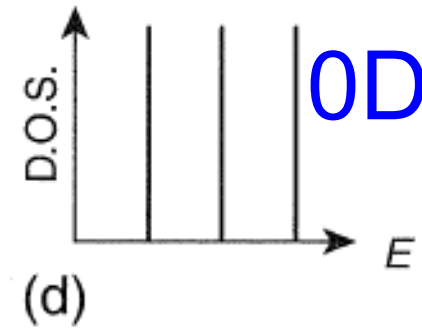
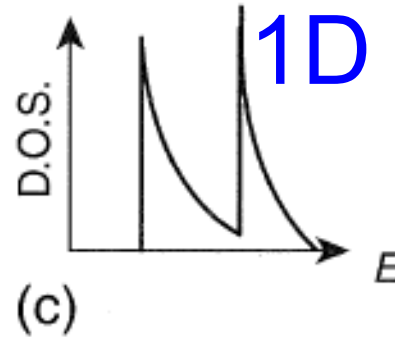
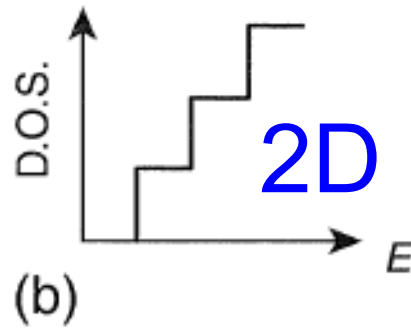
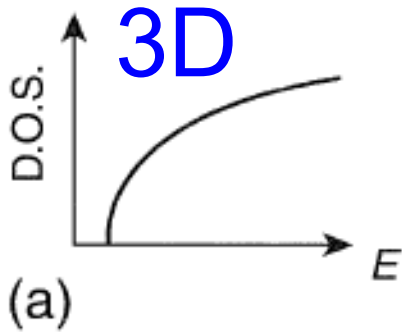
# Formule de Mott

$$S = \frac{\pi^2 k_B^2}{3e} T \left( \frac{\partial \ln \sigma(E)}{\partial E} \right)_{E=E_F}$$



Tse et al., Handbook of Thermoelectricity (2006)

## Nanostructuration



modification de la DOS

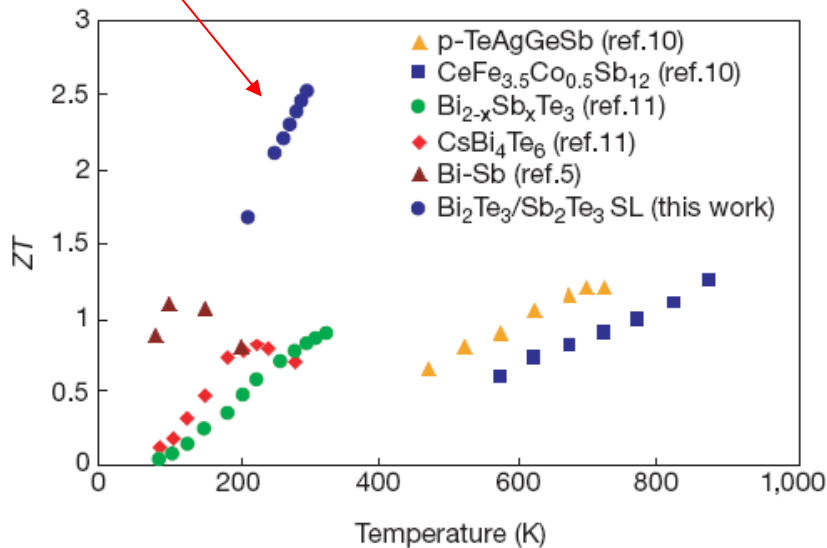
↪ **augmentation de S**

Hicks et Dresselhaus, PRB47, 12727 (1993)

Hicks et Dresselhaus, PRB47, 16631 (1993)

# Superréseaux $\text{Bi}_2\text{Te}_3/\text{Sb}_2\text{Te}_3$

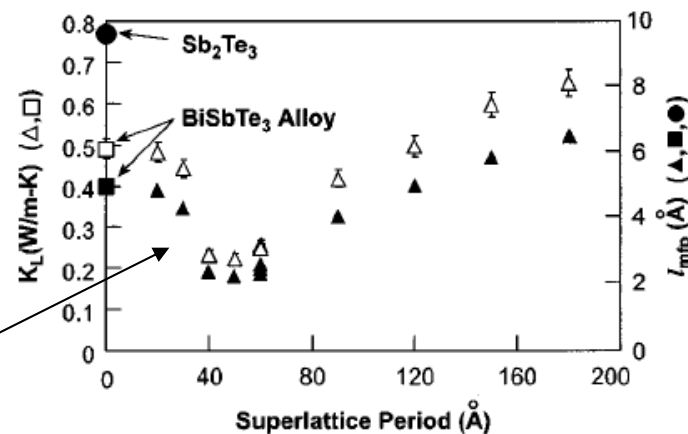
**ZT = 2.5!**



**Figure 3** Temperature dependence of  $ZT$  of  $10\text{\AA}/50\text{\AA}$  p-type  $\text{Bi}_2\text{Te}_3/\text{Sb}_2\text{Te}_3$  superlattice compared to those of several recently reported materials.

*Venkatasubramanian et al., Nature*  
413, 597 (2001)

Amélioration de la mobilité  
+  
Réduction de  $\kappa_L$



**FIG. 3.** Experimental lattice thermal conductivity ( $K_L$ ) and calculated average phonon mean free path ( $l_{\text{mfp}}$ ) as a function of the period in  $\text{Bi}_2\text{Te}_3/\text{Sb}_2\text{Te}_3$  superlattices and other reference materials. Note: There are three data points, almost on top of each other, at the  $60\text{\AA}$  period, corresponding to  $30\text{\AA}/30\text{\AA}$ ,  $10\text{\AA}/50\text{\AA}$ ,  $20\text{\AA}/40\text{\AA}$  structures.

Diffusion des phonons aux interfaces

Venkatasubramanian, PRB61, 3091 (2000)

# Nanofils de silicium

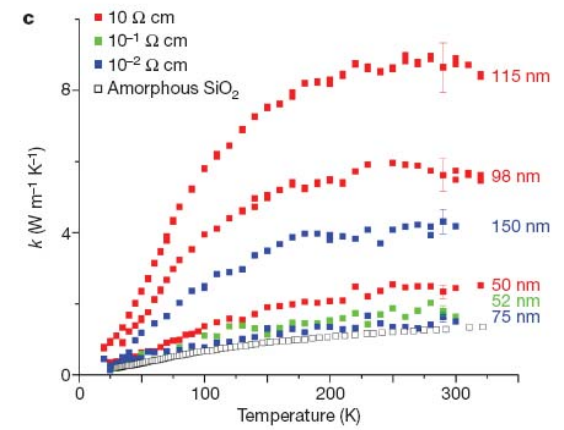
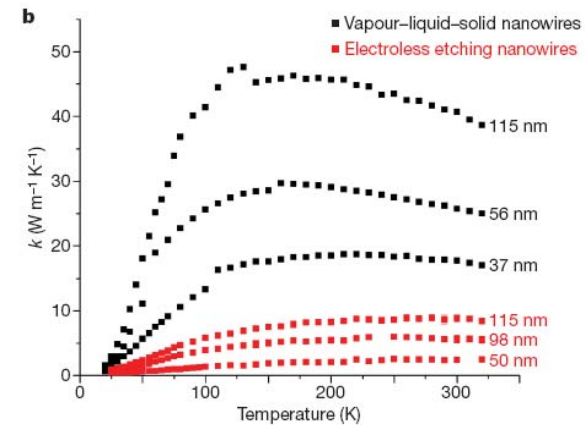
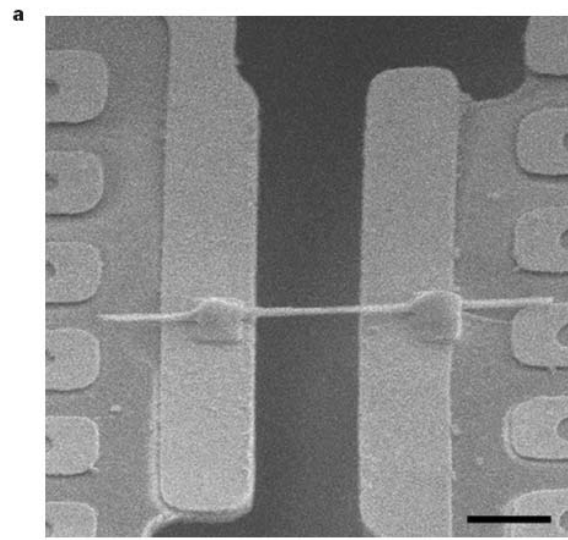
A. I. Hochbaum et al., Nature 451, 163 (2008)

A. I. Boukai et al., Nature 451, 168 (2008)

Si :  $ZT \sim 0.01$  à 300K

↙  $ZT = 0.6$  à 300K  
pour les nanofils

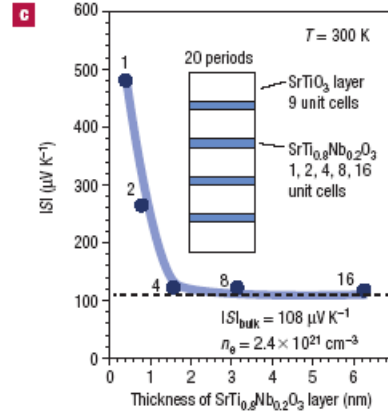
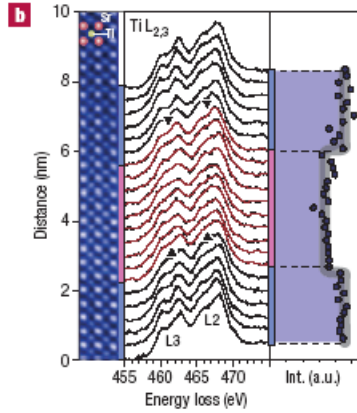
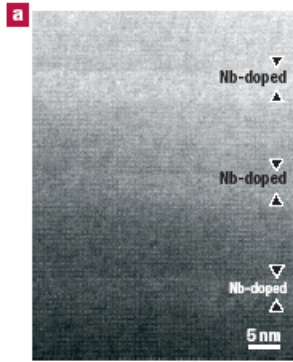
Effet principalement lié aux  
Phonons :  
réduction de  $\kappa$  + phonon drag pour S





# 2D electron gas in SrTiO<sub>3</sub>

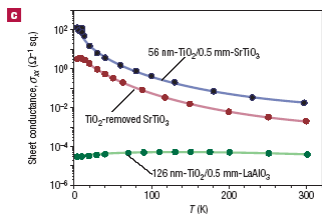
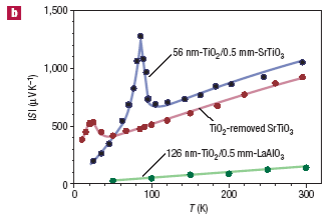
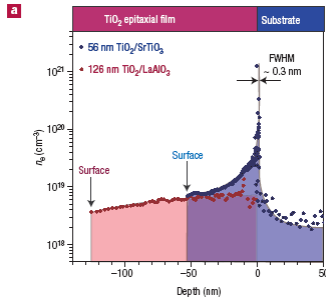
H. Ohta et al., Nat. Mater. 6, 129 (2007)



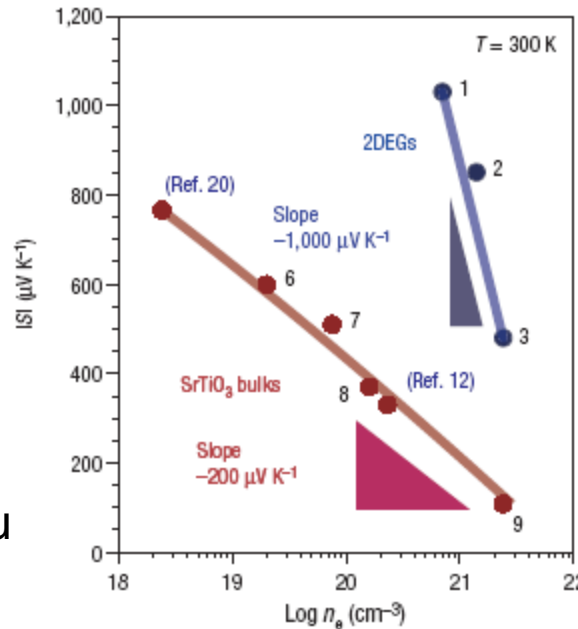
Nanostructuring :  
Augmentation de S

$$\sigma_{\text{eff}} = \sigma_{\text{2DEG}} / (1 + N_{\text{barrier}})$$

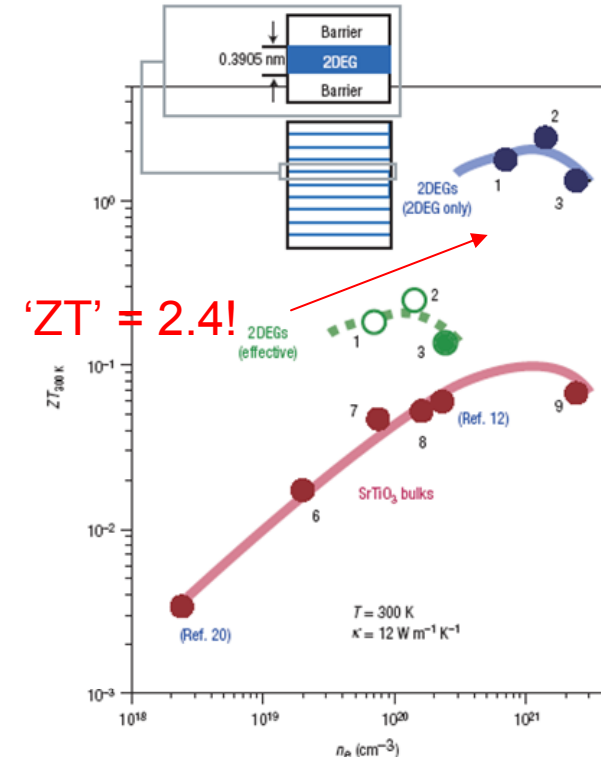
$$ZT_{\text{eff}} = ZT_{\text{2DEG}} / (1 + N_{\text{barrier}})$$



Pic de S lié au phonon drag



$$|S| = -k_B / e \cdot \ln 10 \cdot A \cdot (\log n_e + B)$$

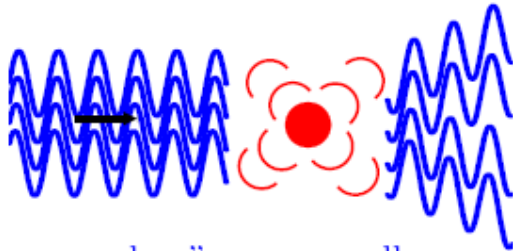


κ mesuré sur monocristal de SrTiO<sub>3</sub>

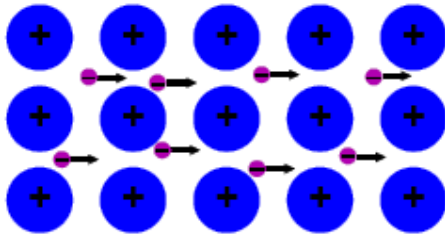
Réduction de la conductivité thermique  
'Phonon glass'

# Phonon glass / Electron crystal

- Atomes lourds dans des cages ('rattling')



"Phonon glass"  $\rightarrow \kappa$  small



"Electron crystal"  $\rightarrow \sigma$  large

- Structures cristallines complexes

- Solutions solides

- Matériaux composites

Diffusion sur les défauts ponctuels  
Diffusion par les joints de grains

- Nanostructures

# Nanograins $\text{Si}_{95}\text{Ge}_5$ dopés P

Increased Phonon Scattering by Nanograins and Point Defects in Nanostructured Silicon with a Low Concentration of Germanium

G. H. Zhu,<sup>1</sup> H. Lee,<sup>2</sup> Y. C. Lan,<sup>1</sup> X. W. Wang,<sup>1</sup> G. Joshi,<sup>1</sup> D. Z. Wang,<sup>1</sup> J. Yang,<sup>1</sup> D. Vashaee,<sup>3</sup> H. Guilbert,<sup>1</sup> A. Pillitteri,<sup>1</sup> M. S. Dresselhaus,<sup>4</sup> G. Chen,<sup>2,\*</sup> and Z. F. Ren<sup>1,\*</sup>

<sup>1</sup>Department of Physics, Boston College, Chestnut Hill, Massachusetts 02467, USA

<sup>2</sup>Department of Mechanical Engineering, Massachusetts Institute of Technology, Cambridge, Massachusetts 02139, USA

<sup>3</sup>Department of Electrical and Computer Engineering, Oklahoma State University, Tulsa, Oklahoma 74106, USA

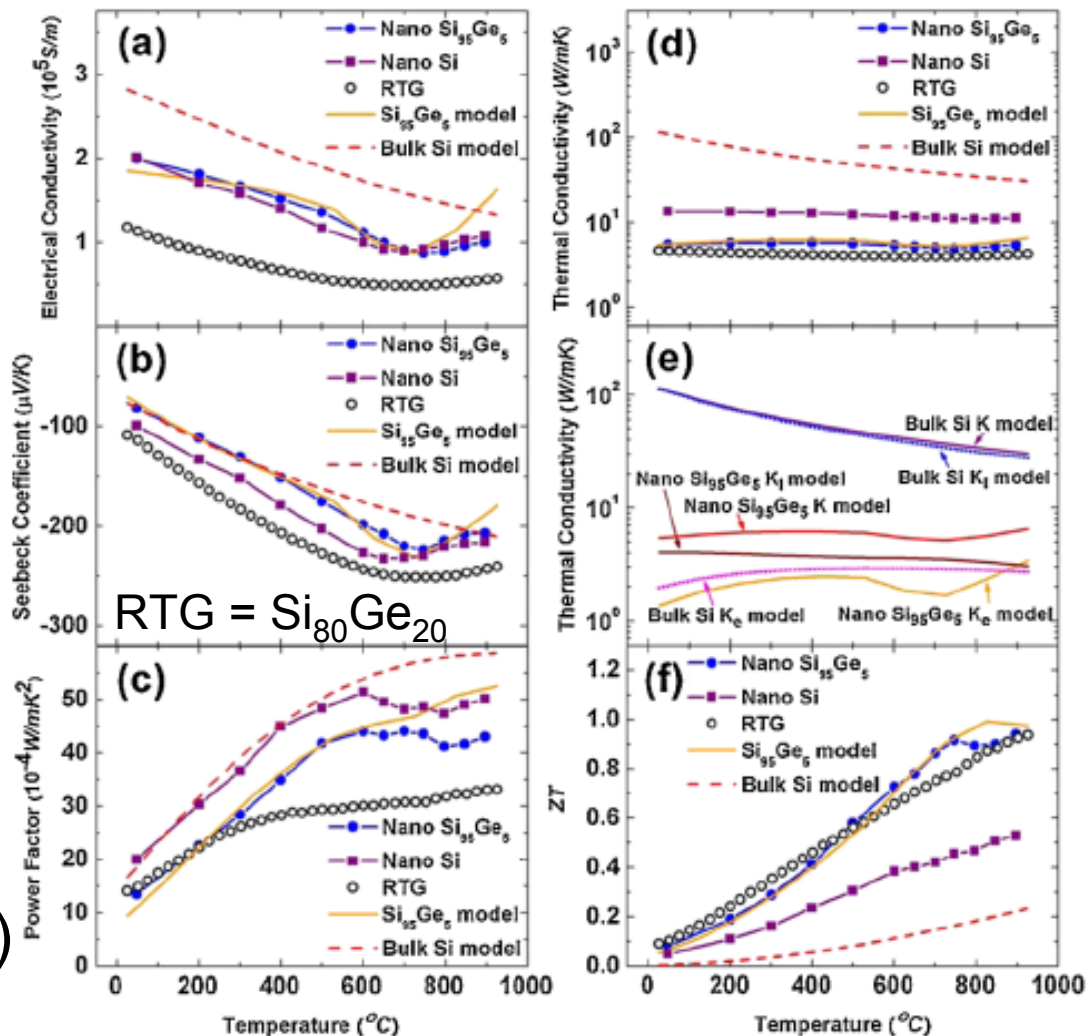
<sup>4</sup>Department of Electrical Engineering and Computer Science, Massachusetts Institute of Technology, Cambridge, Massachusetts 02139, USA

(Received 26 November 2008; published 14 May 2009)

Faible composition en Ge :  
bonnes propriétés  
électriques (moins de  
diffusion pour les électrons  
et bonne solubilité du P)

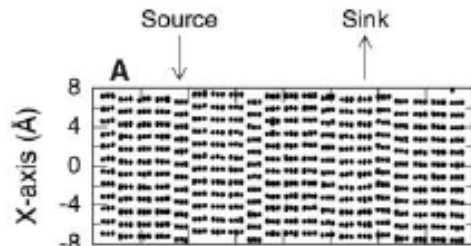
Nanograins ( 5 -20nm ) :  
diffusion liée aux interfaces

Ge : responsable de  
diffusion sur des défauts  
ponctuels (phonons  $\lambda < 1\text{nm}$ )



# Nanostructuration : WSe<sub>2</sub> et superréseaux

Couches W/Se<sub>2</sub>



Modification  
artificielle des  
empilements

Défauts d'empilement

↪ réduction de  $\kappa$

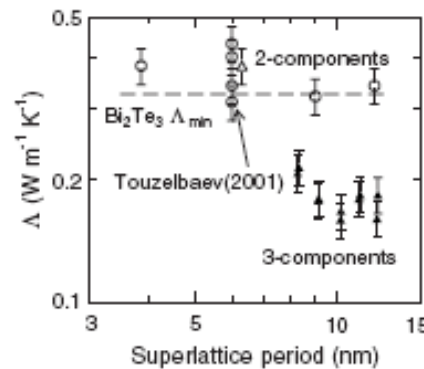


FIG. 2. Cross-plane thermal conductivity of three-component Bi<sub>2</sub>Te<sub>3</sub>/TiTe<sub>2</sub>/Sb<sub>2</sub>Te<sub>3</sub> films (filled triangle) and two-component Bi<sub>2</sub>Te<sub>3</sub>/Sb<sub>2</sub>Te<sub>3</sub> films (open triangle) annealed at 250 °C. Open circles are thermal conductivities for Bi<sub>2</sub>Te<sub>3</sub>/Sb<sub>2</sub>Te<sub>3</sub> superlattices in Ref. 25. Minimum thermal conductivity for Bi<sub>2</sub>Te<sub>3</sub> (dashed line) was calculated using the model in Ref. 26 and is included for comparison.

**0.05 Wm<sup>-1</sup>K<sup>-1</sup>  
à 300K!**

Facteur de puissance en cours d'étude

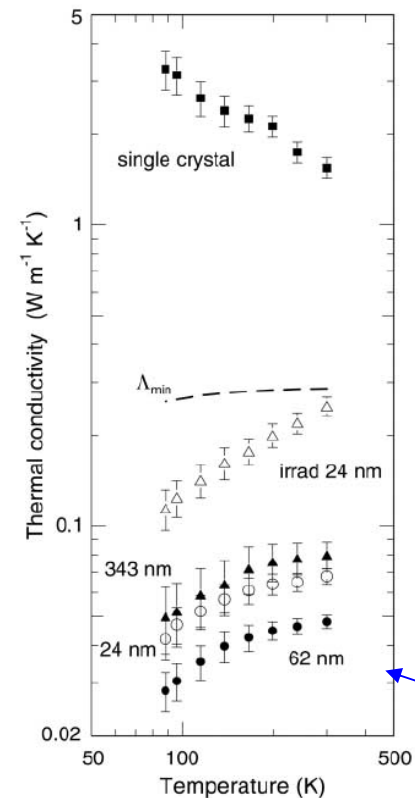


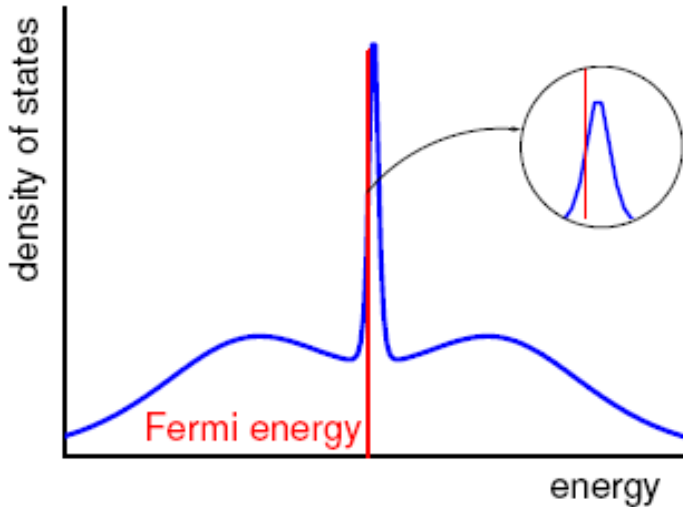
Fig. 2. Summary of measured thermal conductivities of WSe<sub>2</sub> films as a function of the measurement temperature. Each curve is labeled by the film thickness. Data for a bulk single crystal are included for comparison. Error bars are the uncertainties propagated from the various experimental parameters used to analyze the data (6). The ion-irradiated sample (irrad) was subjected to a 1-MeV Kr<sup>+</sup> ion dose of  $3 \times 10^{15} \text{ cm}^{-2}$ . The dashed line marked  $\Delta_{\text{min}}$  is the calculated minimum thermal conductivity for WSe<sub>2</sub> films in the cross-plane direction.

# Corrélations électroniques

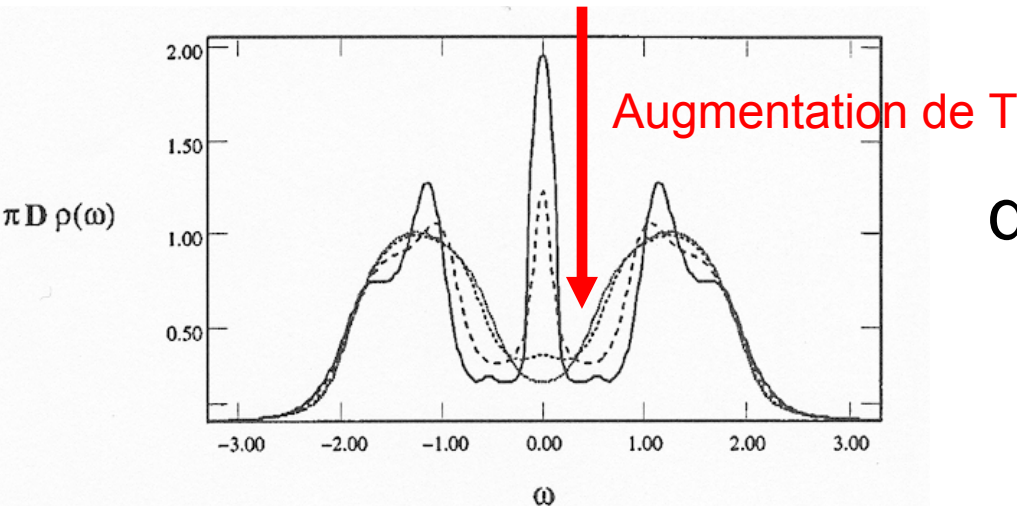
Terme diffusif

Terme haute T (formule de Heikes)

# Corrélations électroniques



Modification de  
DOS liée aux  
corrélations



Dépend  
de  $U$  (énergie de répulsion  
coulombienne),  
de  $T$

Kondo insulators, Fermions lourds, oxydes...

# Augmentation de S liée aux corrélations électroniques

$$S = \frac{\pi^2 k_B^2}{3e} T \left( \frac{\partial \ln \sigma(E)}{\partial E} \right)_{E=E_F}$$

$$C_{el} / T = \gamma = \frac{\pi^2}{3} k_B^2 N(E_F)$$

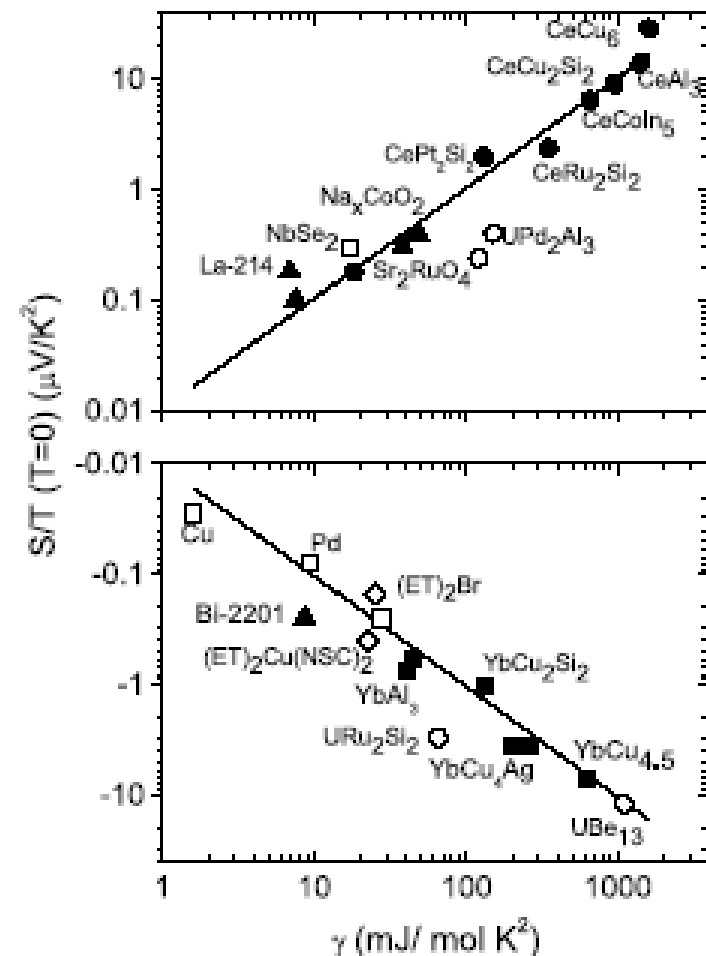
Rapport : S / chaleur spécifique  $C_{el}$

Limite  $T \rightarrow 0$

$$q = \frac{S}{T} \frac{N_{Av} e}{\gamma} = \text{cste}$$

$\gamma$ : partie électronique de  
la chaleur spécifique

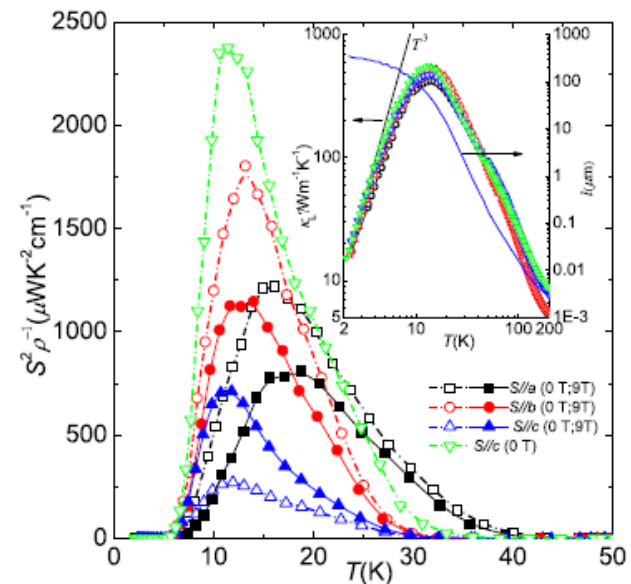
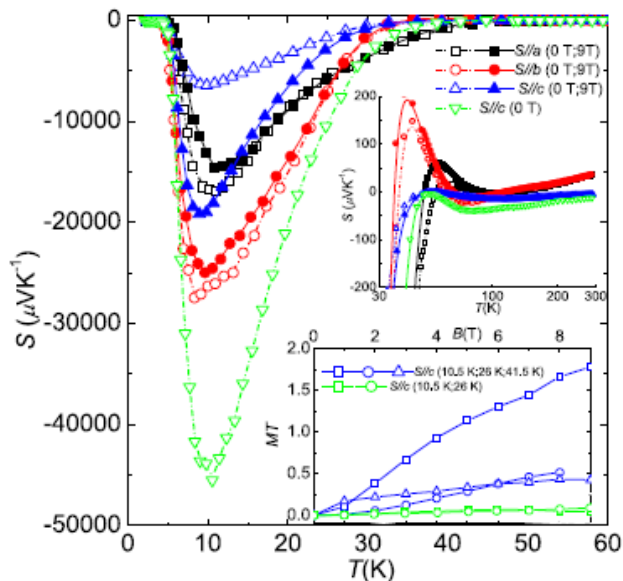
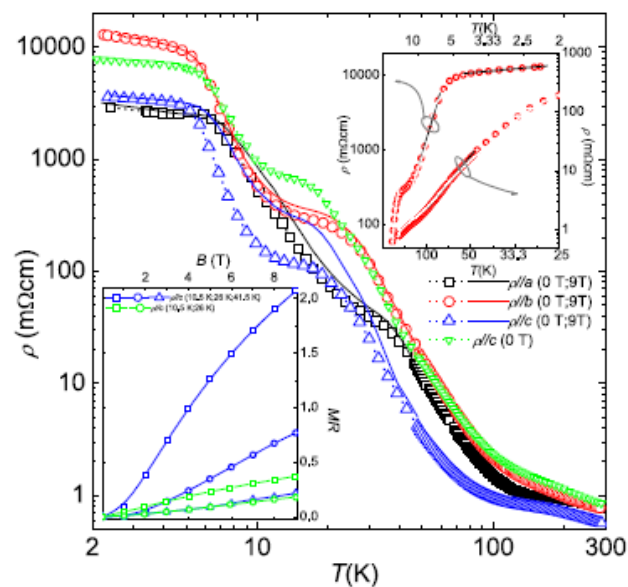
$$0.5 < |q| < 2$$





# 'Strongly correlated semiconductor FeSb<sub>2</sub>'

A. Bentien et al., EPL80, 17008 (2007)



Comparaison avec RuSb<sub>2</sub>, isostructural :

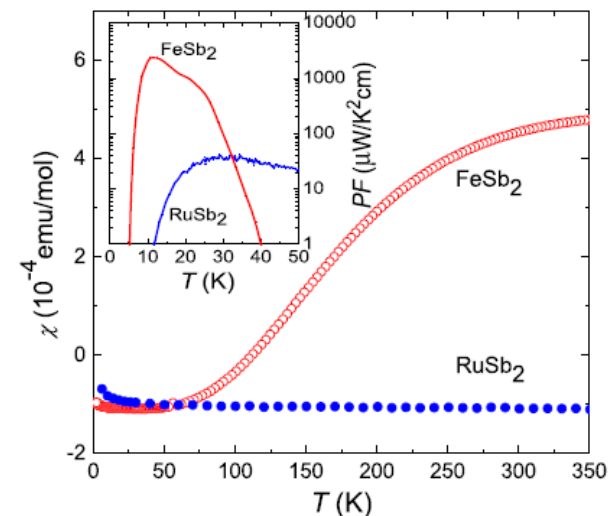
Pas d'effet de phonon drag (pas observé dans RuSb<sub>2</sub>)

Terme diffusif \*10 lié aux corrélations électroniques

P. Sun et al., PRB79, 153308 (2009)

Effet similaire observé dans FeSi

N. E. Sluchanko et al., EPL51, 557 (2000)



# Modèle de Hubbard

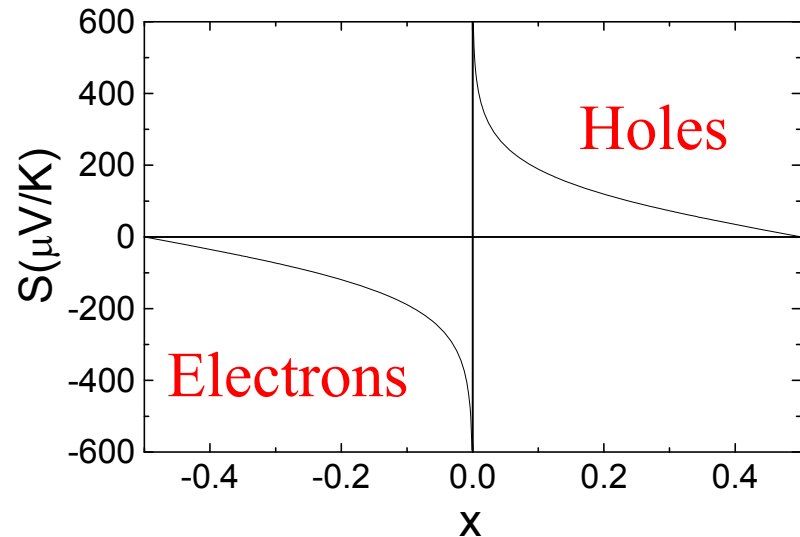
$$S = \frac{-S^{(2)} / S^{(1)} + \mu/|e|}{T} \rightarrow \frac{\mu/|e|}{T} \quad \text{for } T \rightarrow \infty$$

$S^{(1)}$ ,  $S^{(2)}$  : depends on  $v$  and  $Q$ , velocity and energy operators  
Valid for narrow band systems with strong interactions

**Limit  $T \rightarrow \infty$  :  $S \sim \text{entropy} / \text{carrier}$**

$$S = \frac{-k_B}{|e|} \ln\left(\frac{1-x}{x}\right)$$

$x$  = carrier concentration

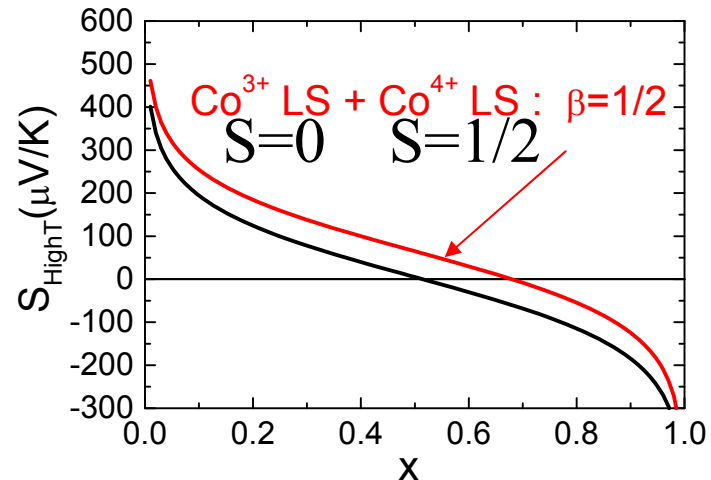


# Entropie de spin

Terme supplémentaire de dégénérescence de spin dans la formule de Heikes

Pour un cation à valence mixte  $M^{n+} / M^{(n+1)+}$  :  $\beta = \frac{2S_n + 1}{2S_{n+1} + 1}$

$$S = -\frac{k_B}{|e|} \ln\left(\beta \frac{1-x}{x}\right)$$



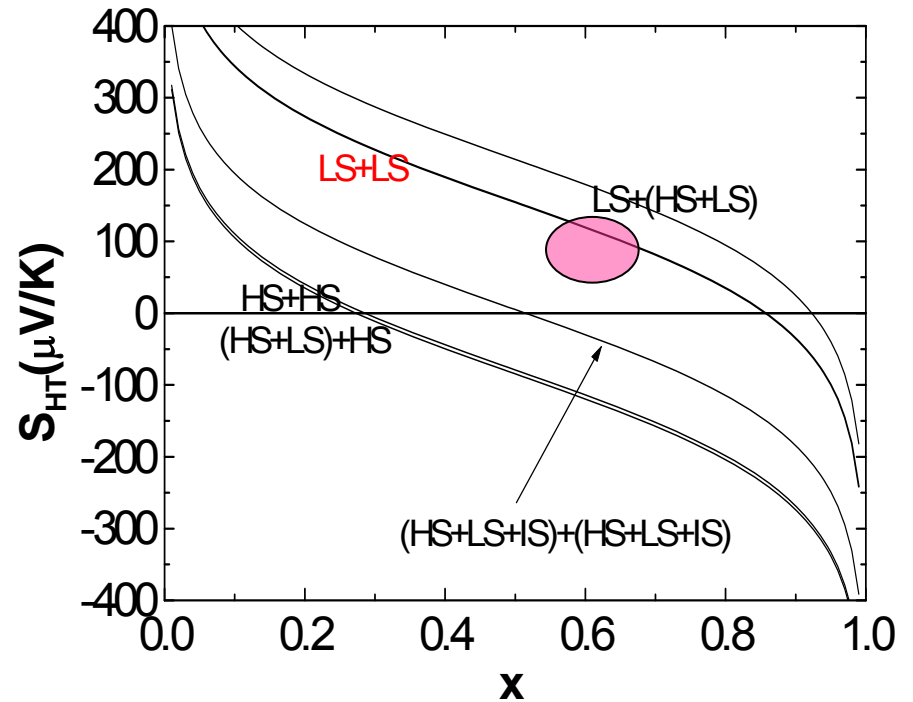
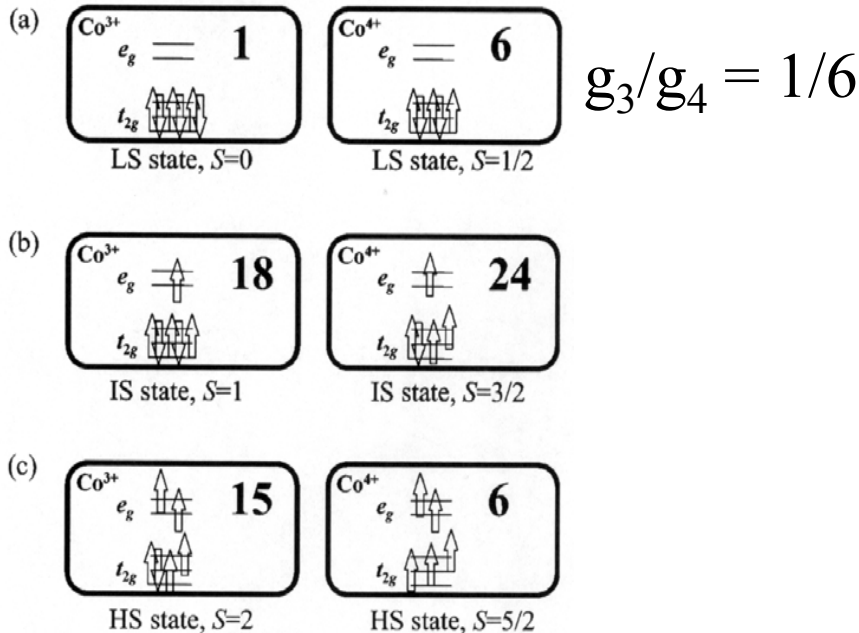
# Dégénérescence de spin et d'orbitale

## Co<sup>3+</sup> (3d<sup>6</sup>)/Co<sup>4+</sup> (3d<sup>5</sup>)

J. P. Doumerc *JSSC* 109, 419 (1994)

W. Koshibae et al., *Phys. Rev. B* 62, 6869 (2000)

$$S = -\frac{k_B}{e} \ln\left(\frac{g_3}{g_4} \frac{x}{1-x}\right)$$



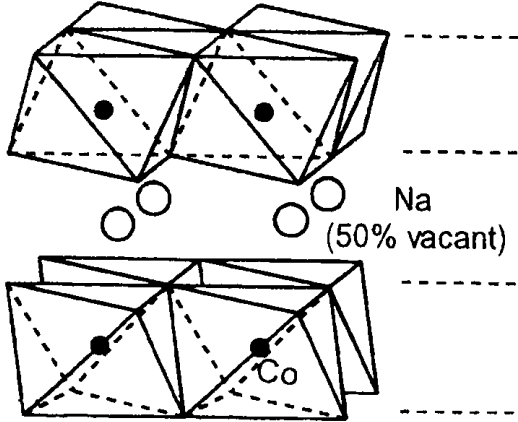
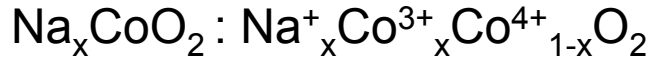
x : Co<sup>4+</sup> concentration

**Les oxydes de cobalt  
à structure lamellaire désaccordée**



## 'Phonon Glass / Electron crystal'

I. Terasaki et al., Phys. Rev. B 56, R12685 (1997)



Co<sup>3+</sup> (3d<sup>6</sup>) / Co<sup>4+</sup> (3d<sup>5</sup>)

Plans type CdI<sub>2</sub>

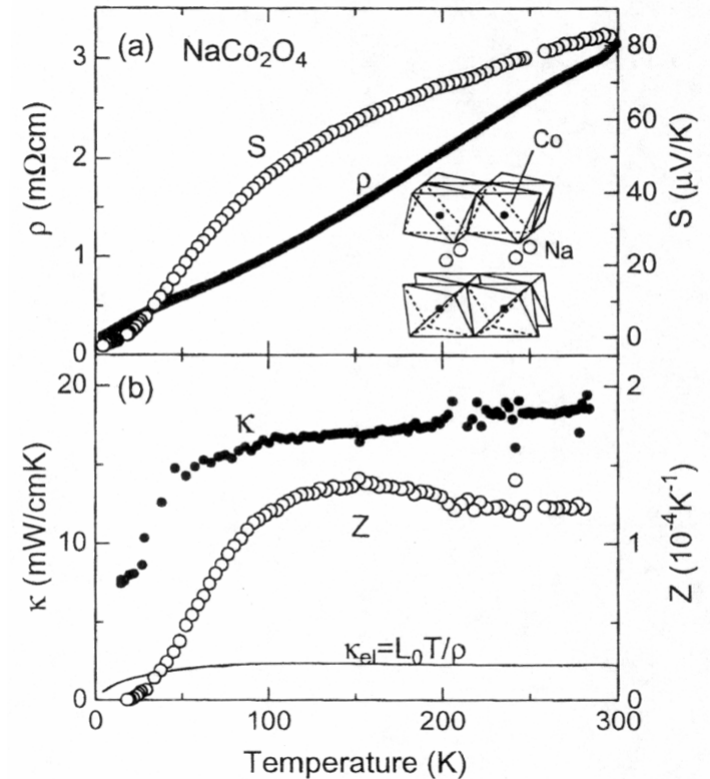
À 300K

Métallicité (cristaux)  $\rho \sim 0.2 \text{ m}\Omega \text{ cm}$

Grand S  $S \sim +80 \mu\text{V/K}$

Faible  $\kappa$  (polycristaux)  $\kappa \sim 2 \text{ Wm}^{-1}\text{K}^{-1}$   
(cristaux)  $\kappa \sim 5 \text{ Wm}^{-1}\text{K}^{-1}$

Mesures sur polycristaux



Facteur de puissance  $P = S^2 / \rho$  at 300K



$P = 50 \cdot 10^{-4} \text{ WK}^{-2}\text{m}^{-1}$



$P = 40 \cdot 10^{-4} \text{ WK}^{-2}\text{m}^{-1}$

# Famille des bronzes de cobalt

## $\text{Na}_x\text{CoO}_2$

C. Fouassier et al., JSSC6, 532 (1973)

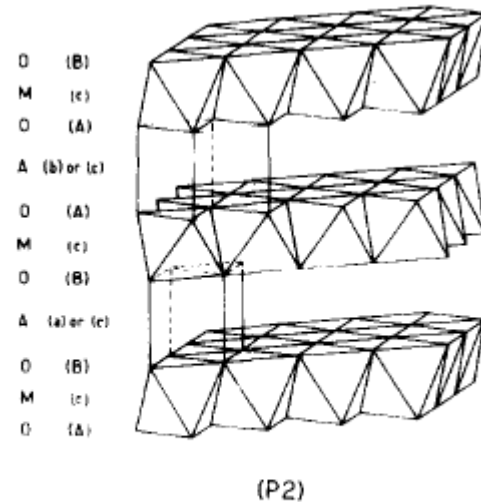


Fig. 1. Layer structure of  $\text{Na}_{0.70}\text{CoO}_{2-\gamma}$

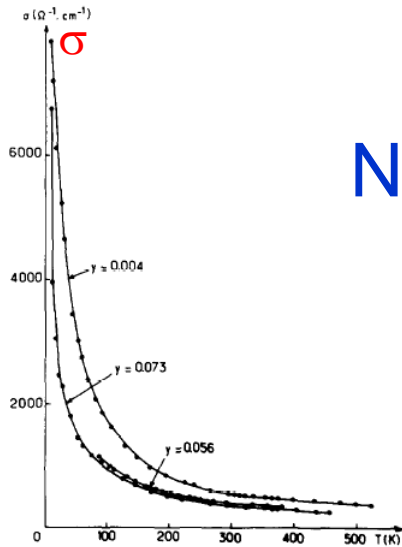


Fig. 6. Temperature dependence of the electrical conductivity of quenched pellets.

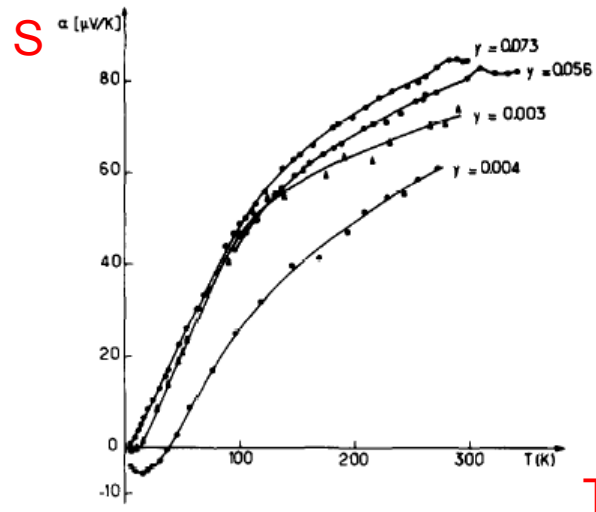


Fig. 7. Temperature dependence of the thermoelectric power of quenched pellets.

J. Molenda, C. Delmas, P. Dordor, A. Stoklosa,  
Solid Stat. Ionics 12, 473 (1989)

# Propriétés Haute T de $\text{Na}_x\text{CoO}_2$

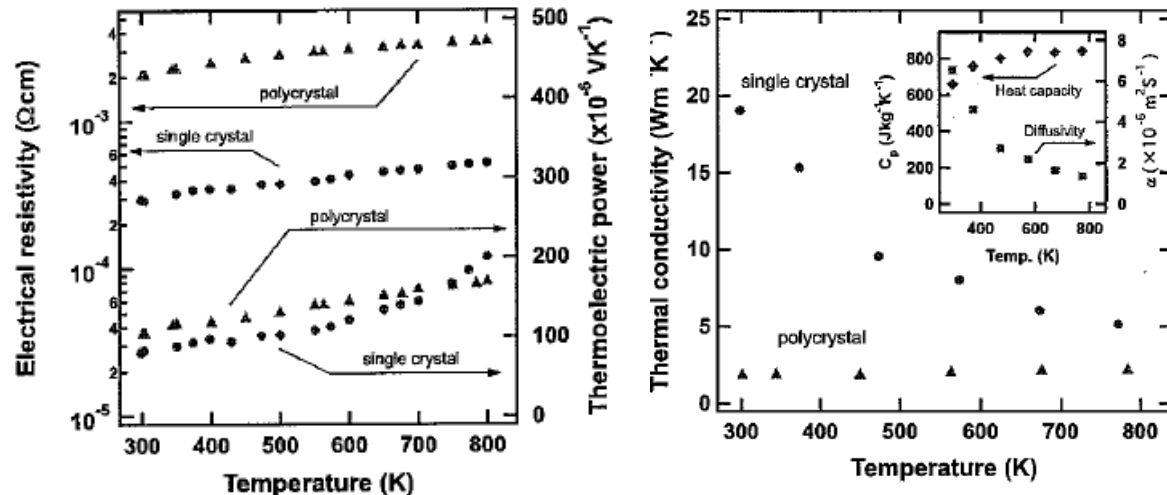
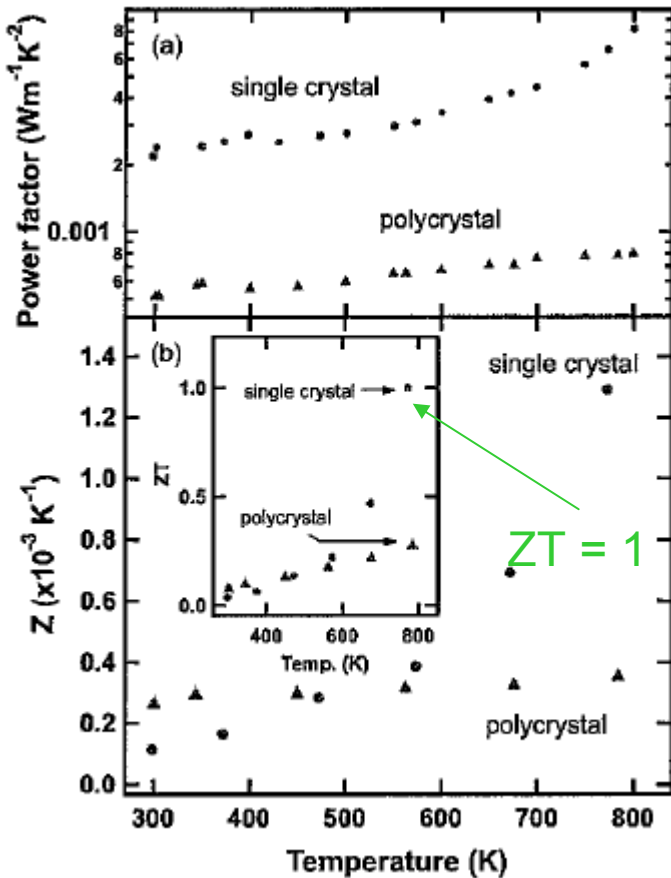
*K. Fujita et al. JJAP40, 4644 (2001)*

Mesures cristaux / polycristaux

Cristaux :  $1.5 \times 1.5 \times 0.03 \text{ mm}^3$

**ZT ~ 1 pour les cristaux à 800K**

Importance de la texturation

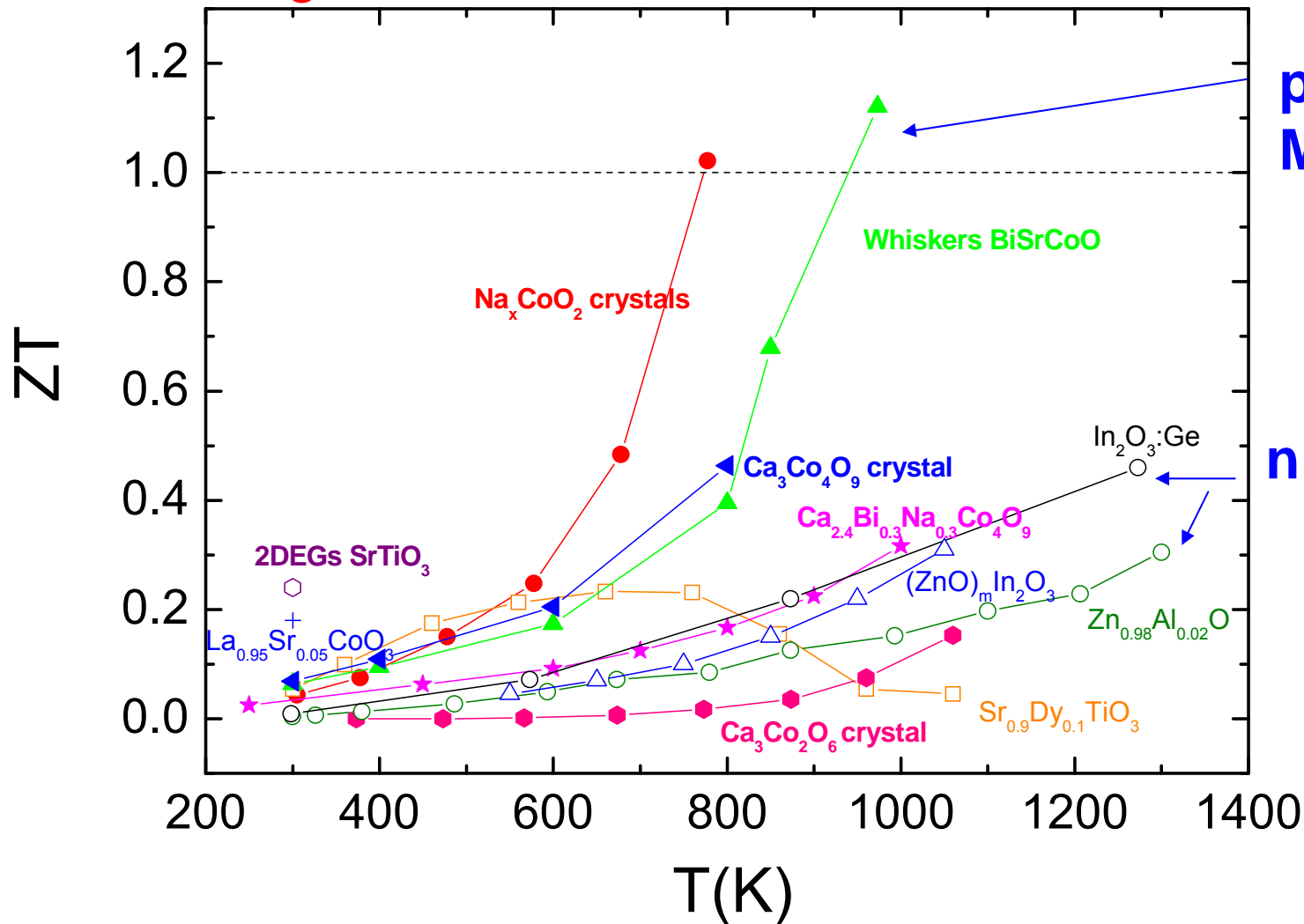




Oxides :

# ZT of oxides

Potentially stable in air,  
at high T



p type :  
Misfit oxides

n type : TCOs

Na<sub>x</sub>CoO<sub>2</sub> \_ Fujita : JJAP 40, 4644 (2001); SrTiO<sub>3</sub> \_ Muta : J. Alloys and compounds 350, 292 (2003); Ca<sub>2.4</sub>Bi<sub>0.3</sub>Na<sub>0.3</sub>Co<sub>4</sub>O<sub>9</sub> \_ Xu : APL80, 3760 (2002); Whiskers BiSrCoO \_ Funahashi : APL81, 1459 (2002); Ca<sub>3</sub>Co<sub>2</sub>O<sub>6</sub> \_ Mikami : JAP94, 10 (2003); 2DEGs(SrTiO<sub>3</sub>) \_ Ohta : Nature Materials 6, 129 (2007); Ca<sub>3</sub>Co<sub>4</sub>O<sub>9</sub> crystal \_ Shikano : APL 82, 1851 (2003); LaSrCoO \_ Androulakis : APL84, 1099 (2004); ZnAlO \_ Ohtaki : JAP79, 1816 (1996)

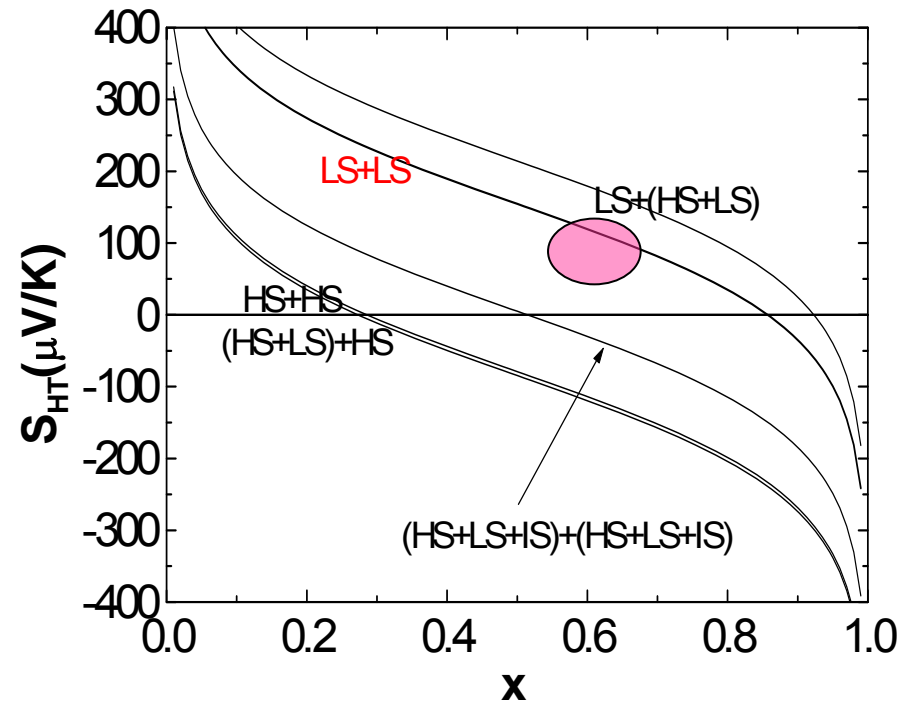
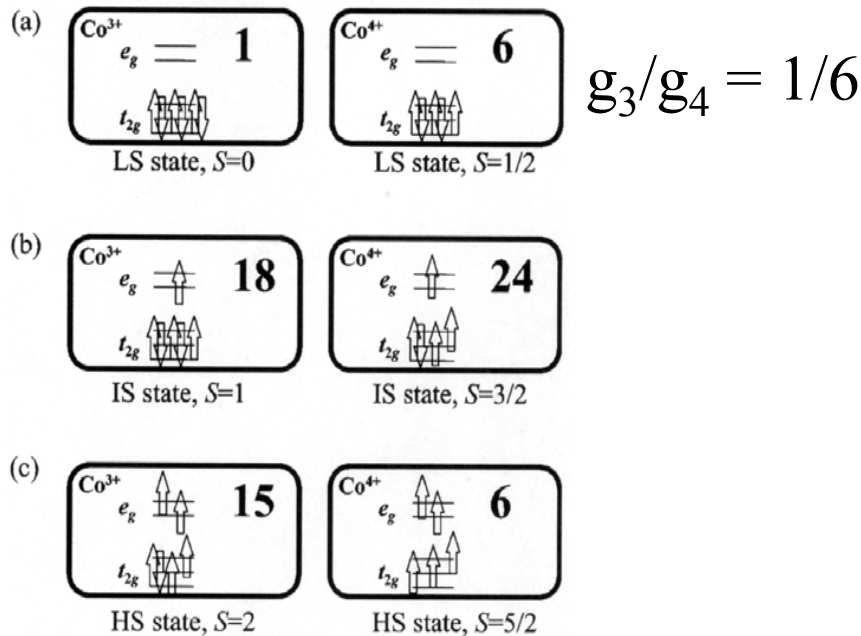
# Dégénérescence de spin et d'orbitale

## Co<sup>3+</sup> (3d<sup>6</sup>)/Co<sup>4+</sup> (3d<sup>5</sup>)

J. P. Doumerc *JSSC* 109, 419 (1994)

W. Koshibae et al., *Phys. Rev. B* 62, 6869 (2000)

$$S = -\frac{k_B}{e} \ln\left(\frac{g_3}{g_4} \frac{x}{1-x}\right)$$



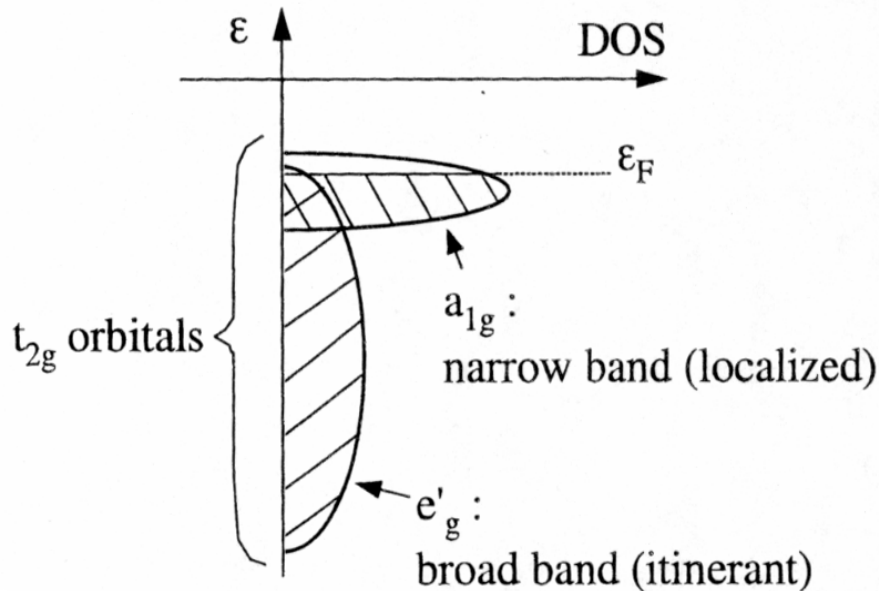
x : Co<sup>4+</sup> concentration

# Influence de la structure de bande?

## Rhombohedral crystalline field

### ↪ Lifting of the $t_{2g}$ levels degeneracy

*D. J. Singh, Phys. Rev. B 61, 13397 (2000)*



Peak in  $N(E_F)$

$$\frac{S}{T} = \frac{\pi^2 k^2}{3e} \left( \frac{d \ln(\sigma)}{dE} \right)_{E=E_F}$$

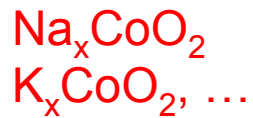
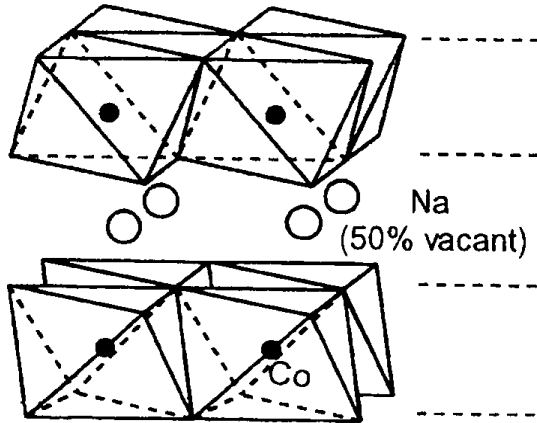
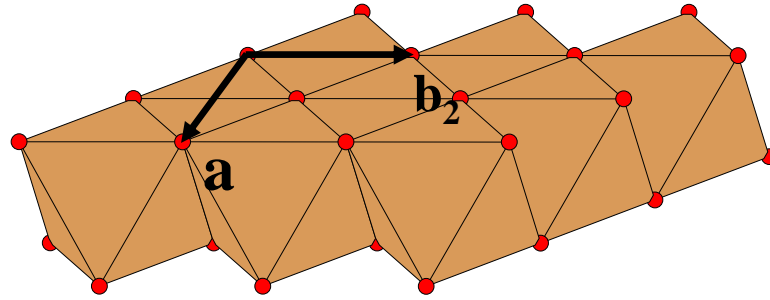
with  $\sigma = N(E) \langle v_F(E)^2 \rangle$

$a_{1g}$  : localized moments / heavy holes  
 $e'_g$  : mobile carriers / light holes

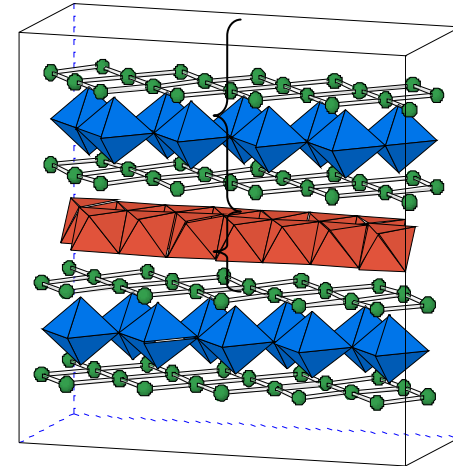
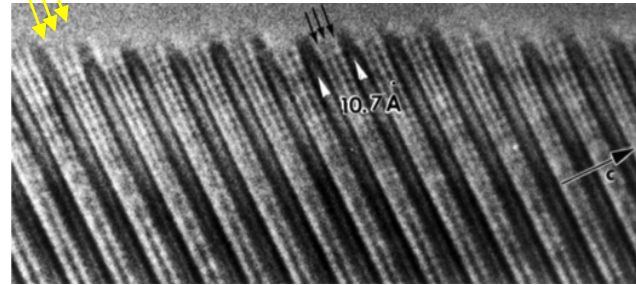
↪  $S = +110 \mu\text{V/K}$  at 300K  
calculated for  $\text{NaCo}_2\text{O}_4$

*T. Yamamoto et al., Phys. Rev. B 65, 184434 (2002)*

# Oxydes lamellaires à base de plans $\text{CoO}_2$



Triple AO layer (NaCl-type)



Famille misfit : 2, 3 ou 4 plans séparateurs

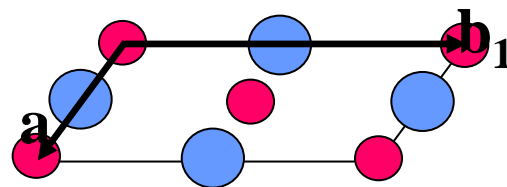
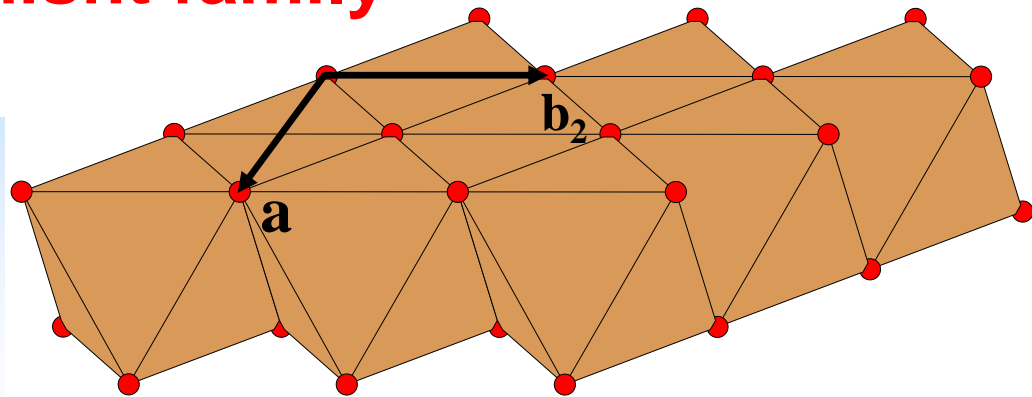
Formule de Heikes : influence du dopage?

Influence de la structure de bande : particularité des plans  $\text{CoO}_2$  ?

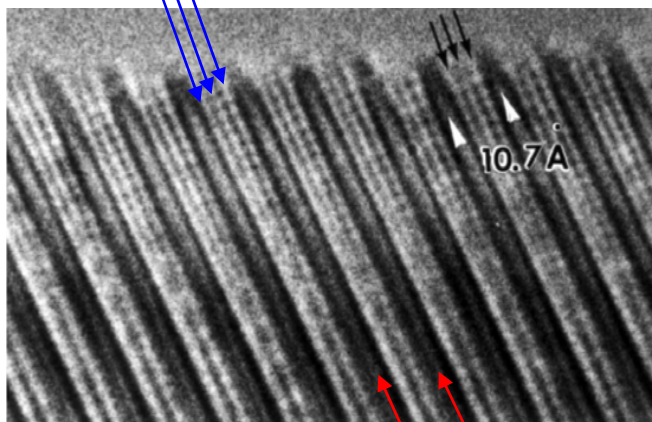
Rôle des plans séparateurs?

# The misfit family

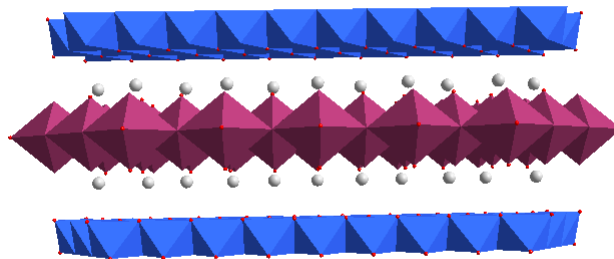
- $n = 4$   $[\text{Bi}_2\text{A}'_2\text{O}_4]^{\text{RS}}[\text{CoO}_2]_{\text{b1/b2}}$   
 $\text{A}' = \text{Ca}^{2+}, \text{Sr}^{2+}$  or  $\text{Ba}^{2+}$
- $n = 3$   $[\text{A}'_2\text{CoO}_3]^{\text{RS}}[\text{CoO}_2]_{\text{b1/b2}}$   
 $\text{A}' = \text{Ca}^{2+}$  or  $\text{Sr}^{2+}$
- $n = 2$   $[\text{Sr}_2\text{O}_2]^{\text{RS}}[\text{CoO}_2]_{\text{b1/b2}}$   
 $[\text{Ca}_2(\text{OH})_2]^{\text{RS}}[\text{CoO}_2]_{\text{b1/b2}}$



## NaCl-like triple layer (RS)



**CoO<sub>2</sub> (type CdI<sub>2</sub>)**



$$\begin{aligned} a_1 &= a_2 \\ c_1 &= c_2 \\ \beta_1 &= \beta_2 \end{aligned}$$

$$b_1 \neq b_2$$

Leligny *et col.*, C. R. Acad. Sci. Paris, t. 2, Série II c, 409 (1999)

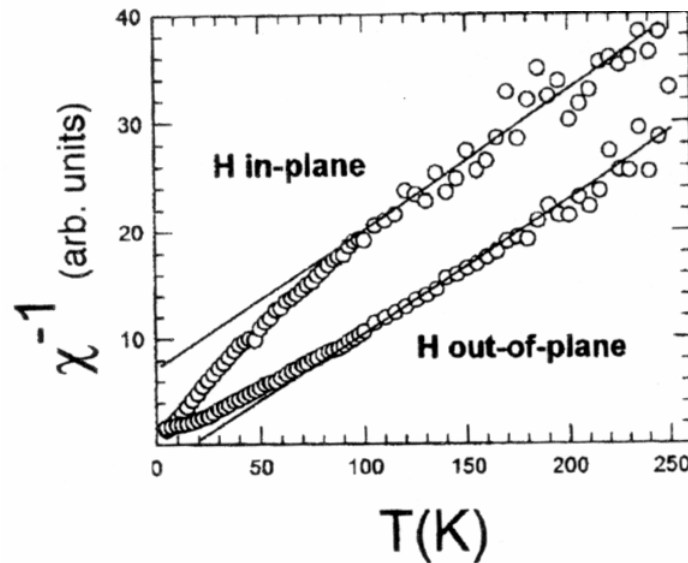
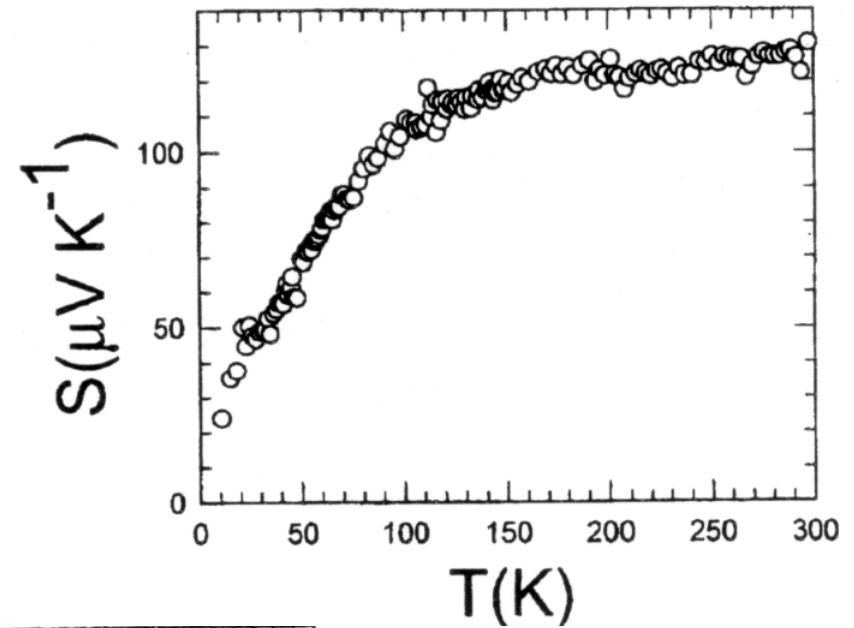
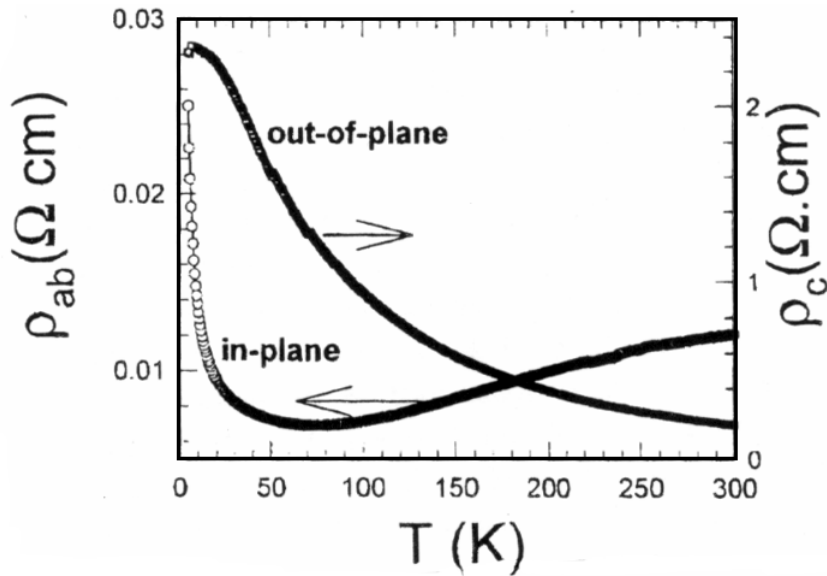
Boullay *et col.*, Chem. Mater. 8, 1482 (1996)

Masset *et col.*, Phys. Rev. B 62, 166 (2000)

Yamauchi *et col.*, Chem. Mater. 18, 155 (2005)

# Ca<sub>3</sub>Co<sub>4</sub>O<sub>9</sub> single crystals

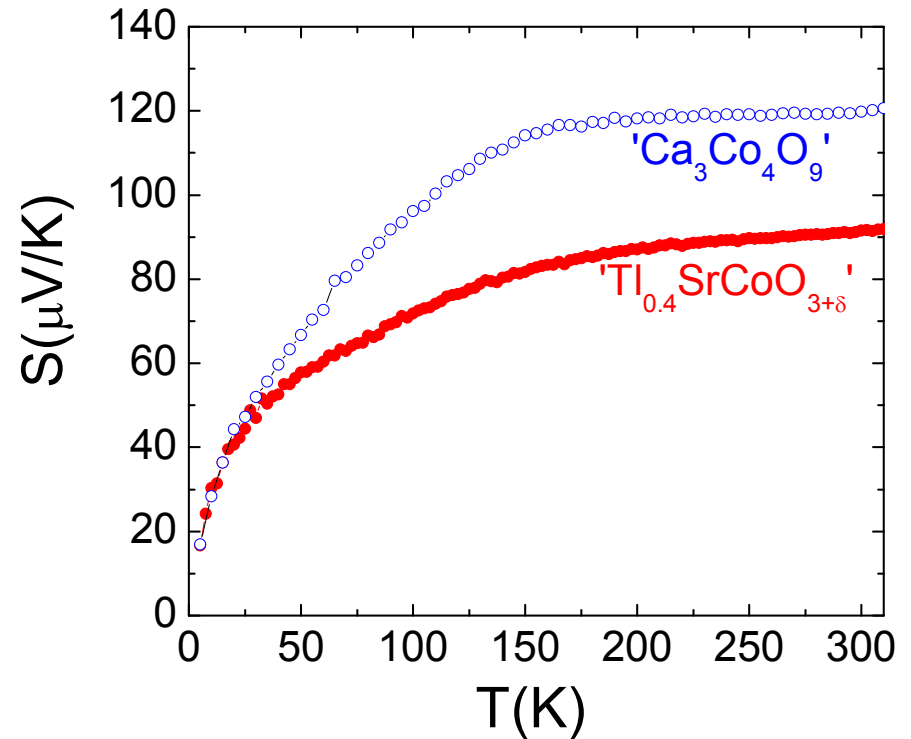
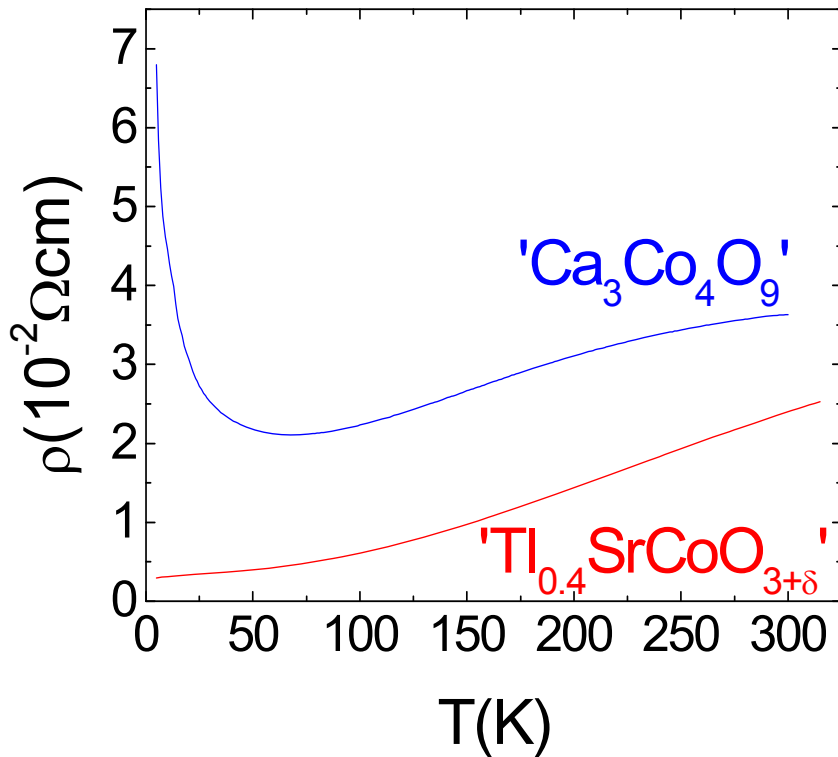
A. C. Masset et al., Phys. Rev. B 62, 166 (2000)



Magnetic  
measurements :  
Co<sup>3+</sup> LS / Co<sup>4+</sup> LS

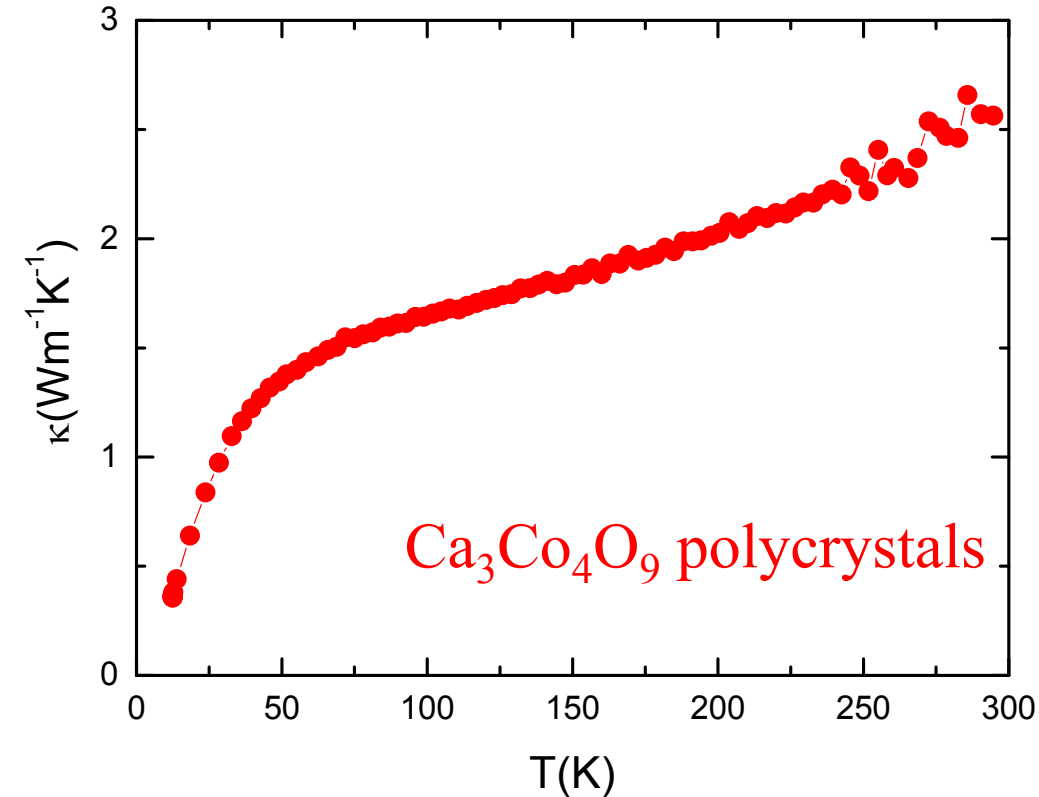
Metallicity  
+  
Large  $S$

# Two different behaviours at low T



Different resistivities but same  $S(T)$   
Only a shift of  $S$

# Thermal conductivity



Wiedemann-Franz law :

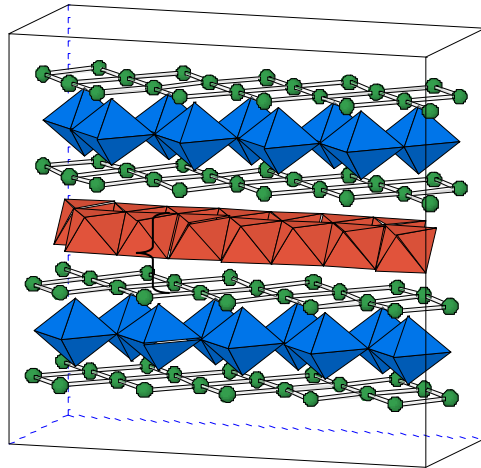
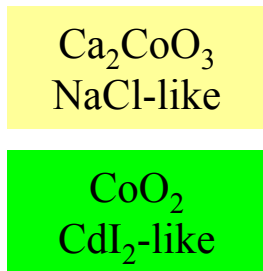
$$\frac{\kappa_{\text{el}}}{\sigma T} = \frac{3}{2} \left( \frac{k_{\text{B}}}{e} \right)^2$$

$$\kappa_{\text{el}} \sim 0.03 \text{ Wm}^{-1}\text{K}^{-1} \text{ at } 300\text{K}$$

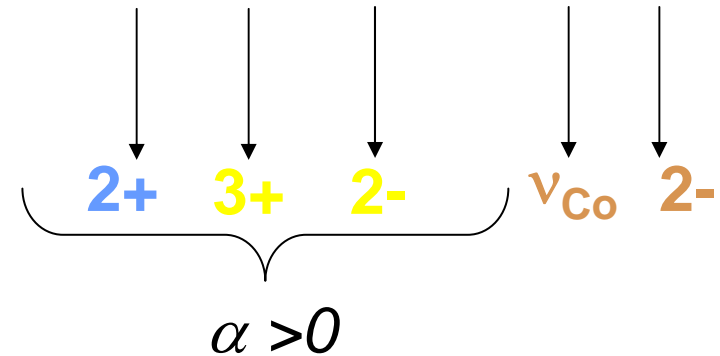
$\kappa$  mainly from phonons



# Influence du dopage dans les misfits



Electronic neutrality :

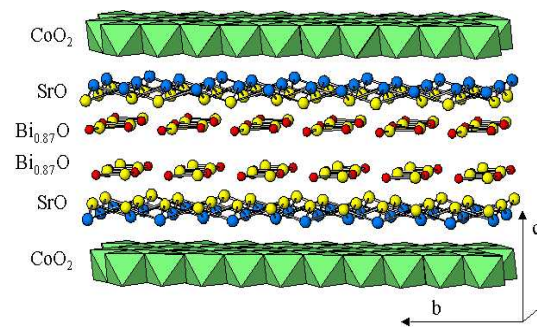


$$v_{\text{Co}} = 4 - \frac{\alpha}{b_1 / b_2}$$

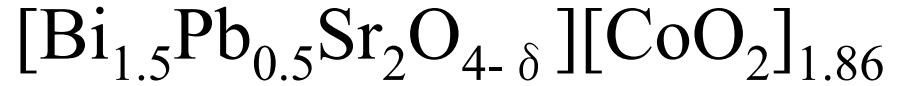
Modification de  $v_{\text{Co}}$  via  $\alpha$  et  $b_1/b_2$

Lien entre  $v_{\text{Co}}$  et  $S$ ?

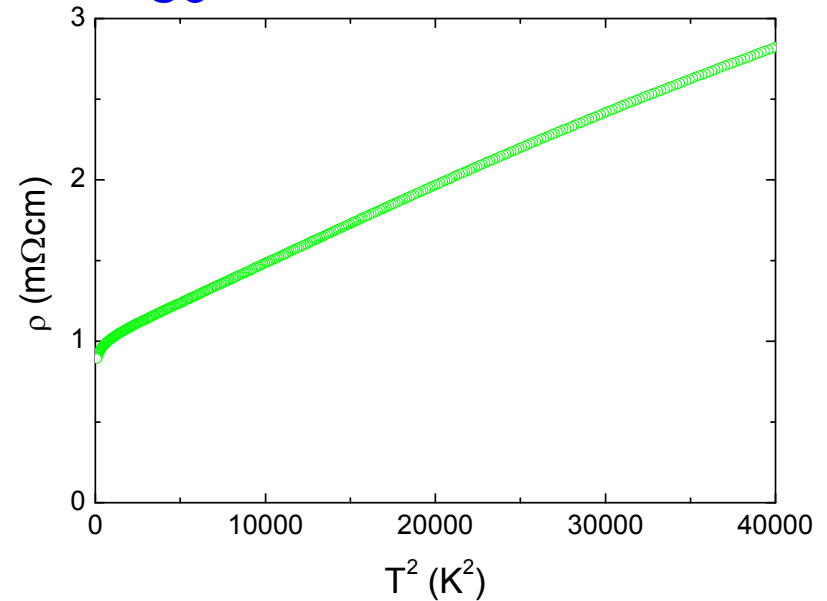
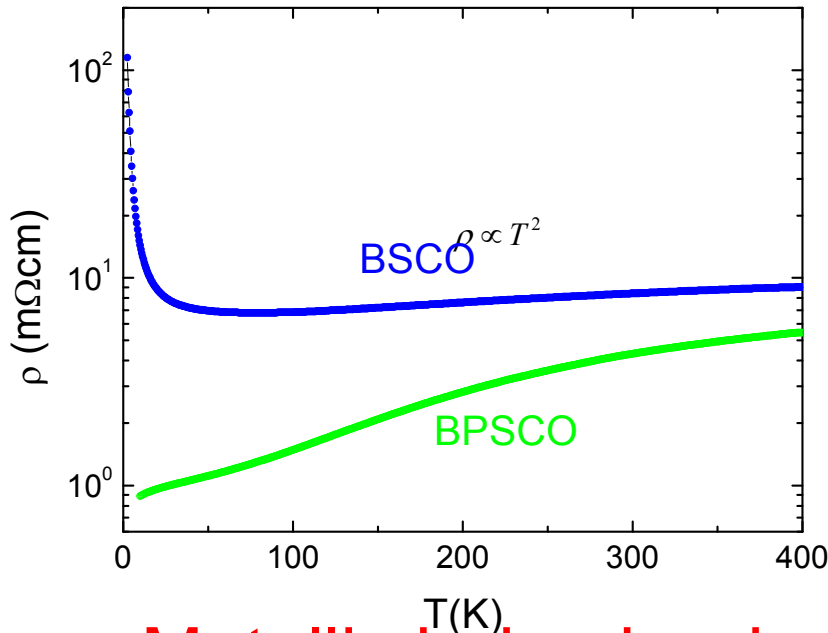
# BiSrPbCoO single crystals : modification of $\alpha$



$$v_{Co} = 4 - \frac{\alpha}{b_1 / b_2}$$



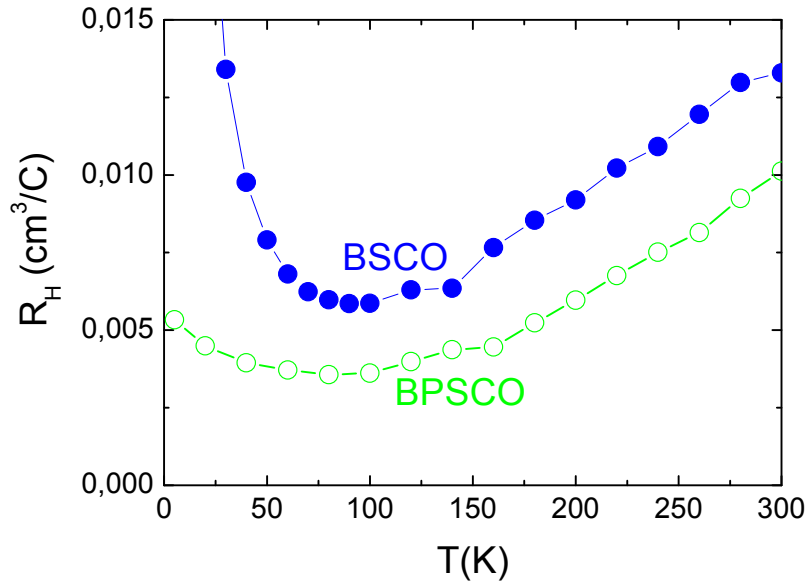
Substitution of  $\text{Bi}^{3+}$  by  $\text{Pb}^{2+}$  : decrease of  $\alpha$   
Increase of  $v_{Co}$



Metallic behavior down to 5K with  $\rho = AT^2$

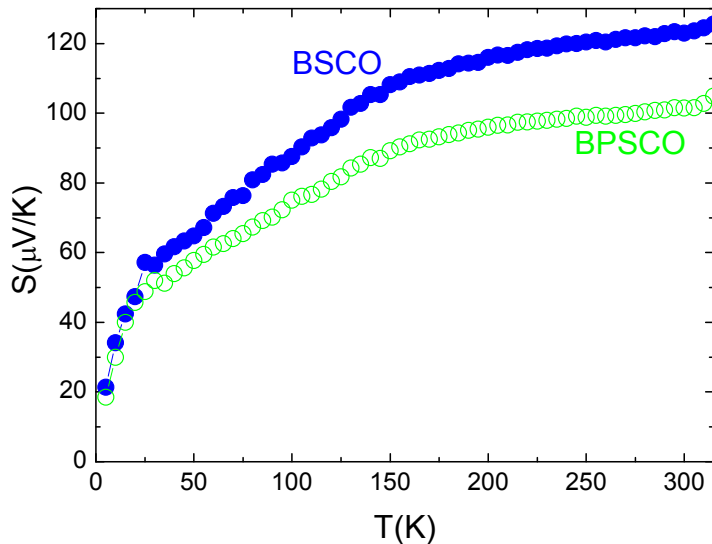
Characteristic of electronic correlations

# BiSrPbCoO single crystals : modification of $\alpha$



At 100K  
 $1.73 \times 10^{21} \text{ cm}^{-3}$  for BPSCO  
 $1.06 \times 10^{21} \text{ cm}^{-3}$  for BSCO

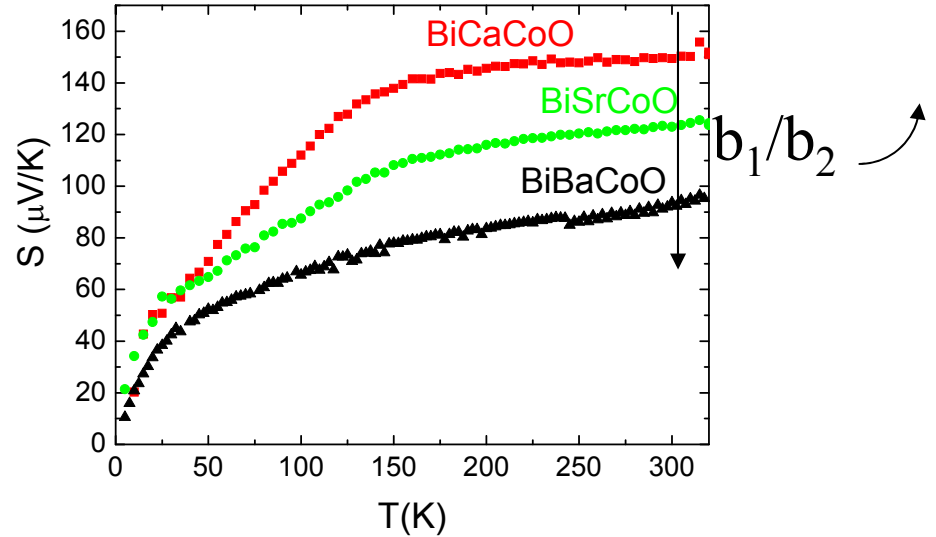
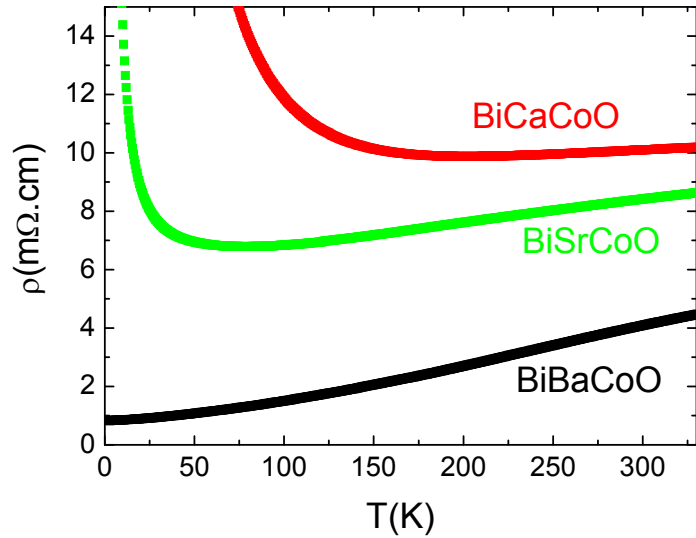
Increase of  $v_{\text{Co}}$   
3.109 for BSCO  
3.178 for BPSCO



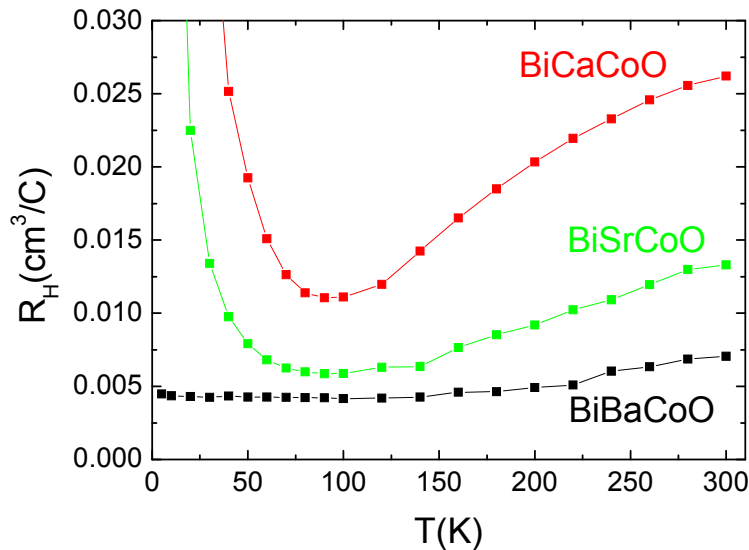
Increase of 'Co<sup>4+</sup>' associated to  
a decrease of  $S$

From the generalized Heikes formula,  
increase of  $v_{\text{Co}}$   
3.59 for BSCO and 3.65 for BPSCO

# BiCaCoO/ BiSrCoO/ BiBaCoO single crystals



S not affected by the strong modification of  $\rho$

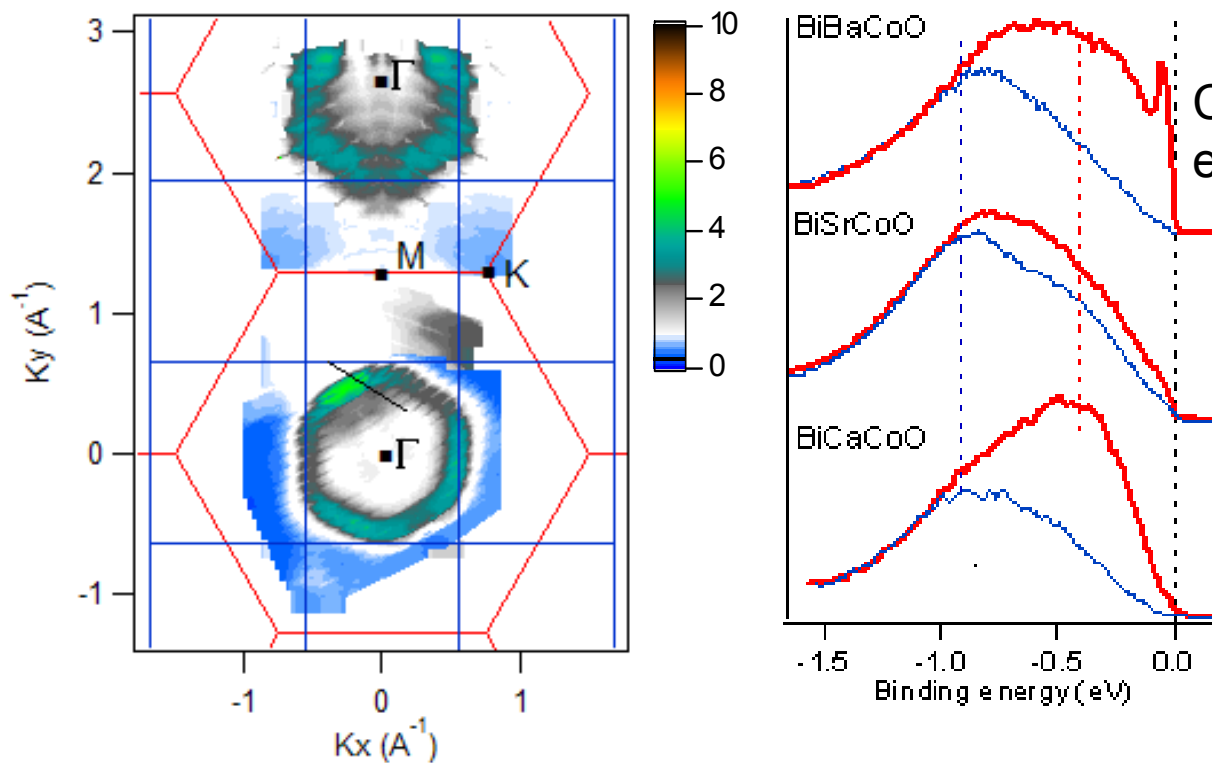


If  $b_1/b_2$   $\nearrow$ , carrier concentration  $\nearrow$

$$V_{Co} = 4 - \frac{\alpha}{b_1 / b_2}$$

$\searrow$  S at 300K depends on doping  $V_{Co} = 3.05 - 3.15$  (Hall effect)?

# Carrier concentration changes with misfit ratio $b_1/b_2$



Collaboration with V. Brouet et al., LPS Orsay

Reliable data for  $v_{Co}$  are obtained for BiBaCoO

single hole-like fermi surface ( $a_{1g}$  character)

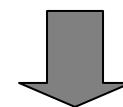
$k_F = 0.57 \pm 0.05 \text{ \AA}^{-1}$  for BiBaCoO

→ similar to  $k_F$  of  $\text{Na}_x\text{CoO}_2$  ( $x=0.7$ )

→  $\text{Co}^{3.3+}$  for BiBaCoO

V. Brouet et al., PRB76, 100403 (2007)

$$v_{Co} = 4 - \frac{\alpha}{b_1/b_2} \quad (\alpha = \text{const})$$

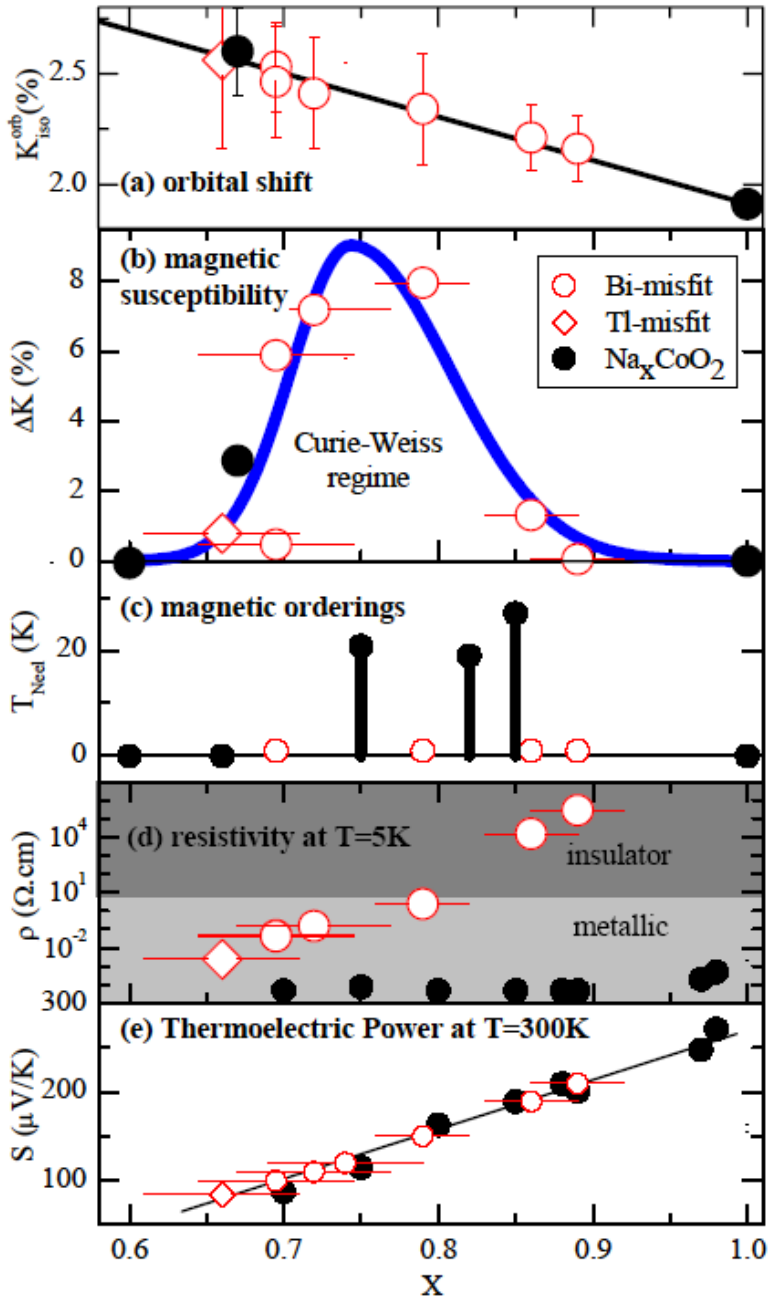


$\text{Co}^{3.2+}$  for BiSrCoO

$\text{Co}^{3.1+}$  for BiCaCoO

# Comparison with $\text{Na}_x\text{CoO}_2$

## NMR experiments



Comparison of Seebeck coefficients of misfits and  $\text{Na}_x\text{CoO}_2$

Confirms the  $\text{Co}^{4+}$  content determined through ARPES measurements

$b_1/b_2$  ↗

**Bi/Ca/Co/O : 3.1**

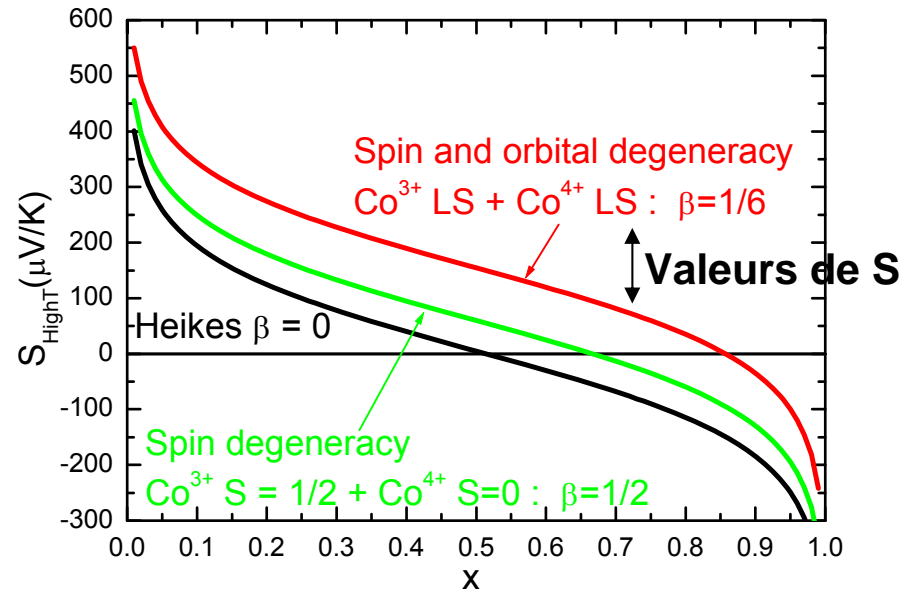
**Bi/Sr/Co/O : 3.2**

**Bi/Ba/Co/O : 3.3**

$$V_{\text{Co}} = 4 - \frac{\alpha}{b_1/b_2}$$

# Heikes formula

$$S = -\frac{k_B}{e} \ln\left(\frac{g_3}{g_4} \frac{x}{1-x}\right)$$



Co valency in BiCaCoO/ BiSrCoO / BiBaCoO

Heikes $g_3/g_4 = 1/6$ S at 300K	Hall effect	ARPES BiBaCoO	NMR
3.5 -3.7	3.05 -3.15 W. Kobayashi et al.	3.3 V. Brouet et al., PRB76, 100403 (2007)	3.1 -3.3 J. Bobroff et al., PRB76, 100407 (2007)

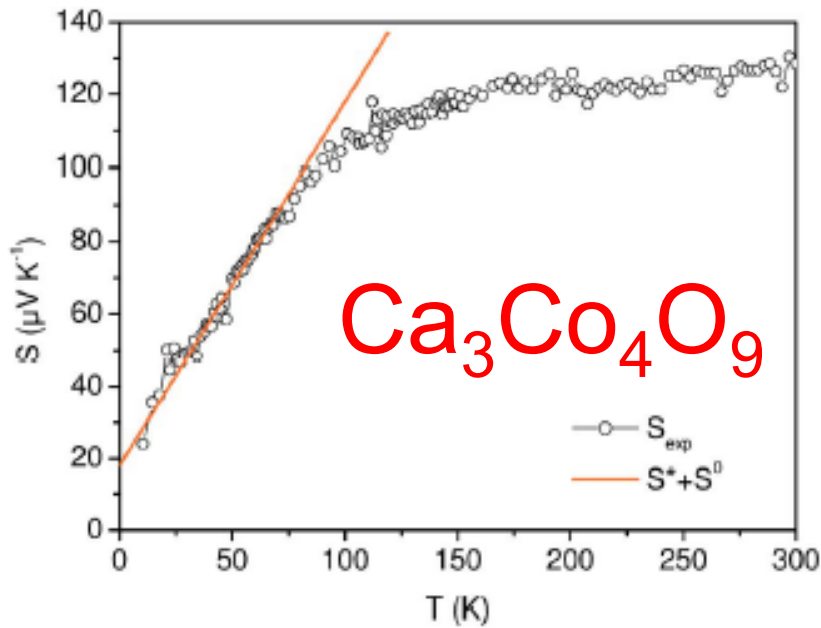
$g_3 / g_4 = 1/2$  instead of  $1/6$ ?

Confirms the results in BiCaCoO :  $\nu_{Co} = 3.24$

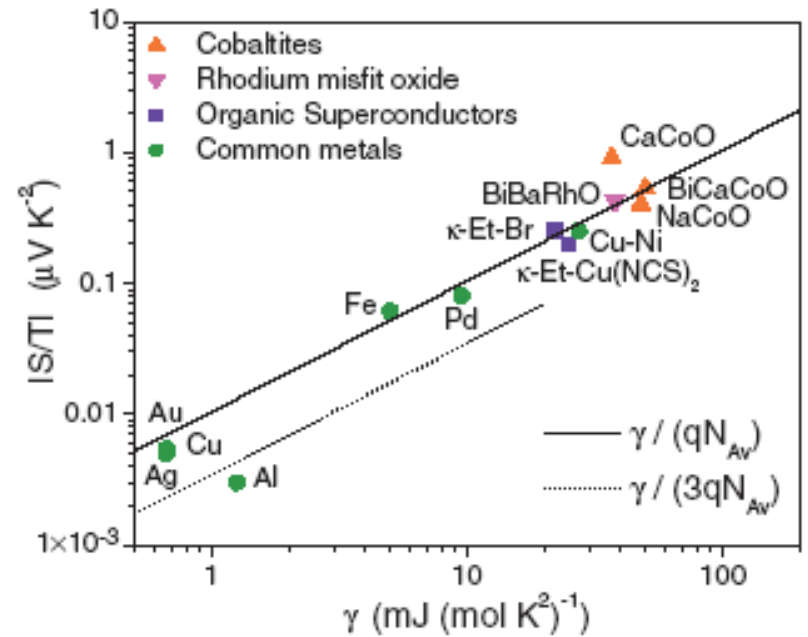
M. Pollet et al., JAP101, 083708 (2007)

# Importance des corrélations électroniques

Pour  $T \rightarrow 0$   $q = \frac{S}{T} \frac{N_{Av} e}{\gamma} = \text{cste}$   $S \sim \gamma T$



*P. Limelette, PRB71, 233108 (2005)*

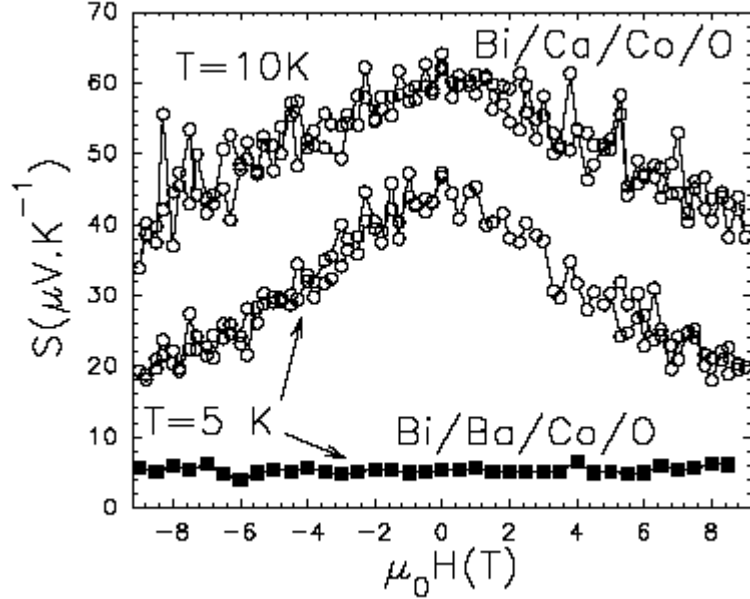


*P. Limelette, PRL97, 046601 (2006)*



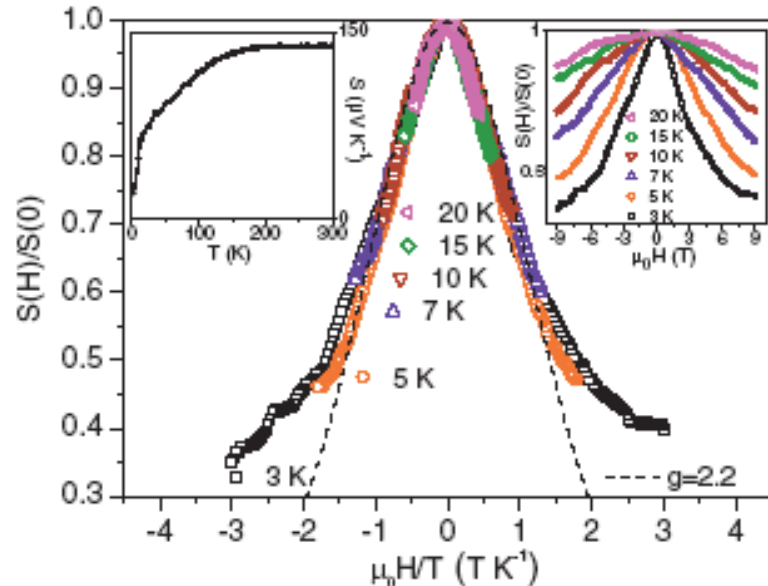
# Spin entropy at low T

## Misfit BiCaCoO



A. Maignan et al.,  
JPCM15, 2711  
(2003)

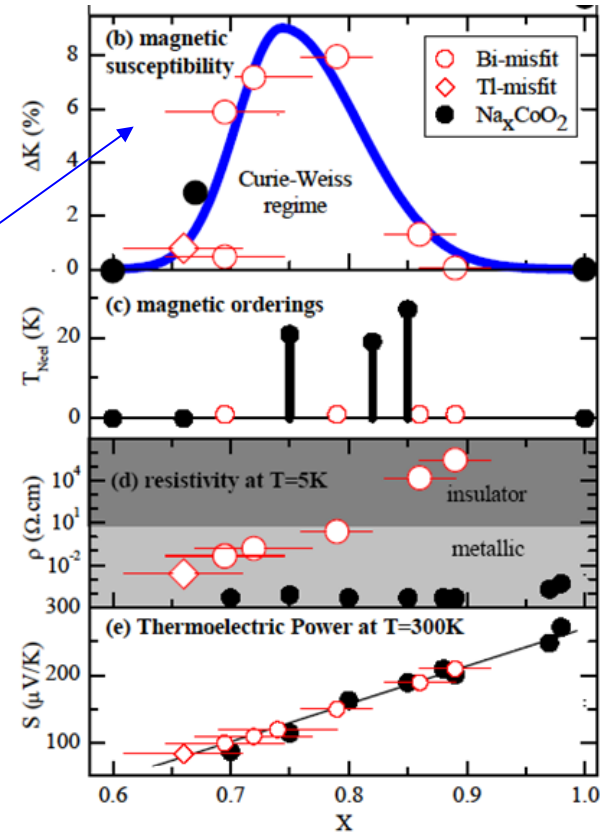
Peak of susceptibility



P. Limelette et al., PRL97, 046601 (2006)

Decrease of S in field at low T

Due to the alignment of paramagnetic spins



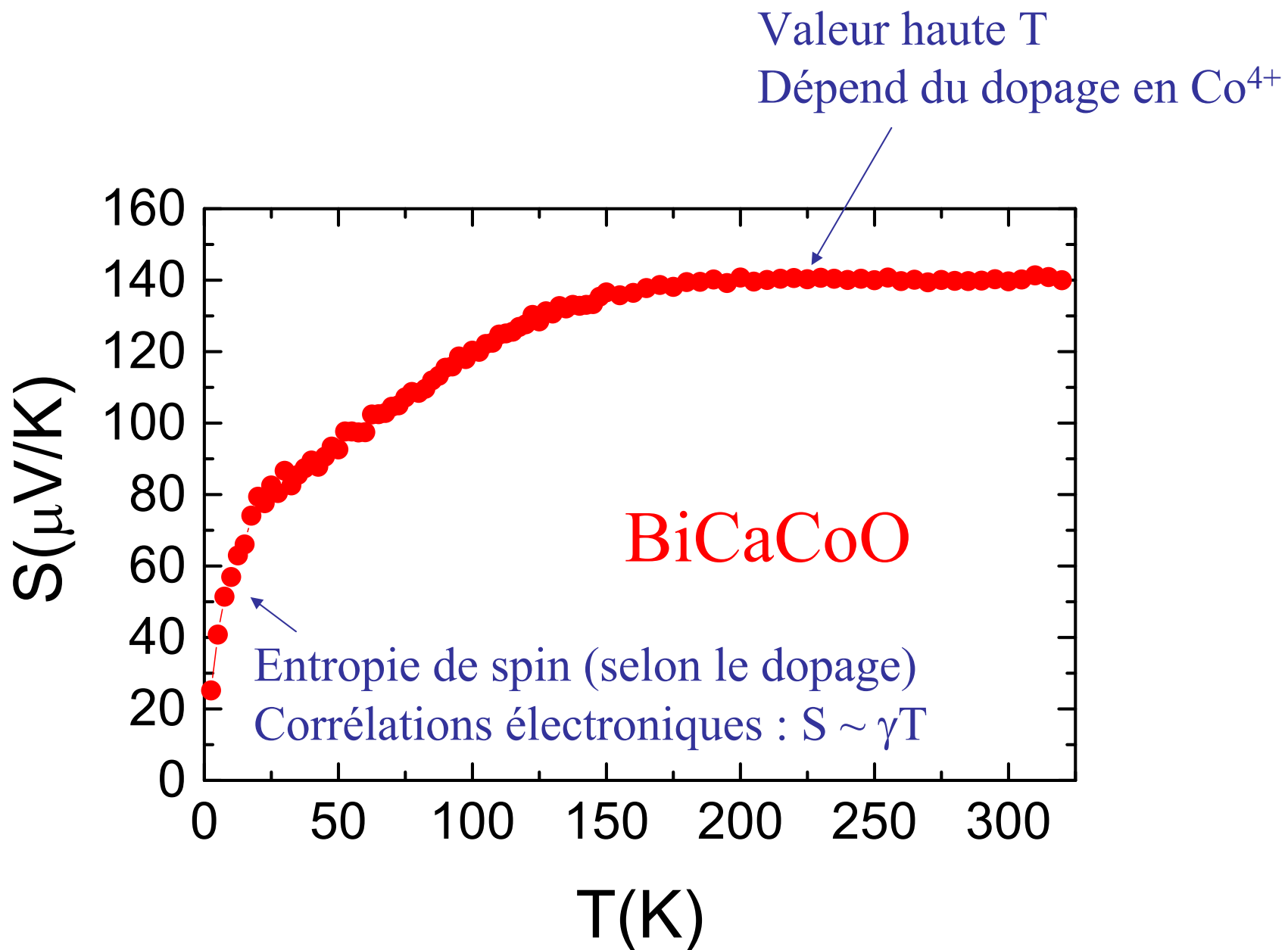
Scaling law for  $S(H)$  : paramagnetic spins  $S=1/2$   
Brillouin function

$$S(x)/S(0) = (\ln[2 \cosh(x)] - x \tanh[x]) / \ln(2).$$

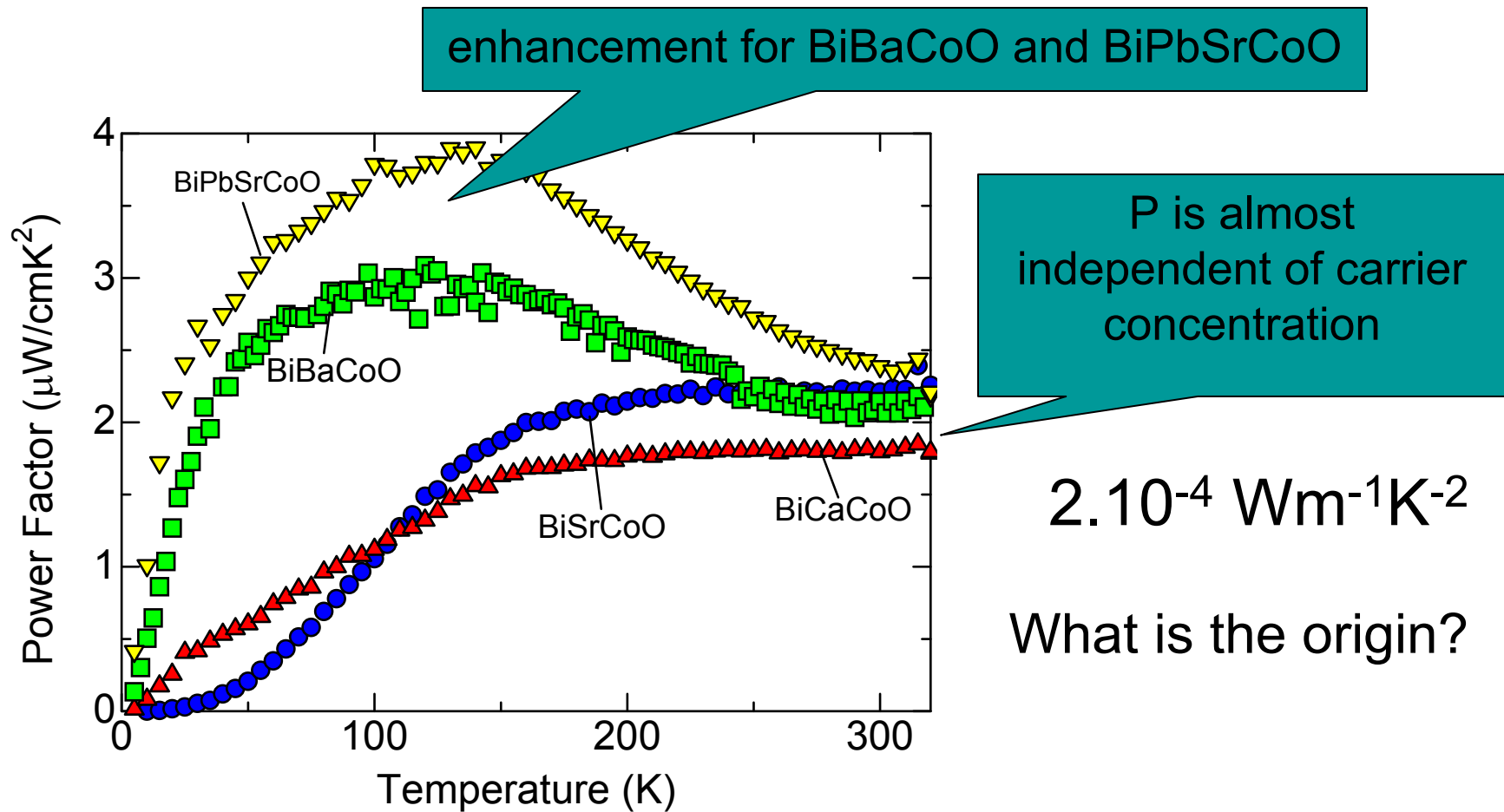
$\text{Na}_{0.7}\text{CoO}_2$

Y. Wang et al., Nature423, 425 (2003)

# Pouvoir thermoélectrique des misfits



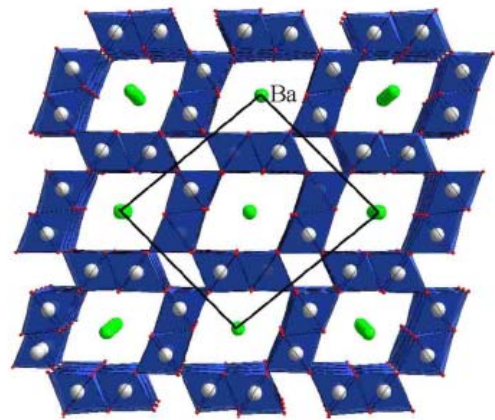
# Power factor P in Bi family



In conventional semiconducting thermoelectric material such as  $\text{Bi}_2\text{Te}_3$ ,  $n$  is an important parameter to tune the properties.

How to modify the electronic properties?  
Other structures with  $\text{CdI}_2$  type layers?

# Ba<sub>1.2</sub>Rh<sub>8</sub>O<sub>16</sub> hollandite



Quasi 1D structure

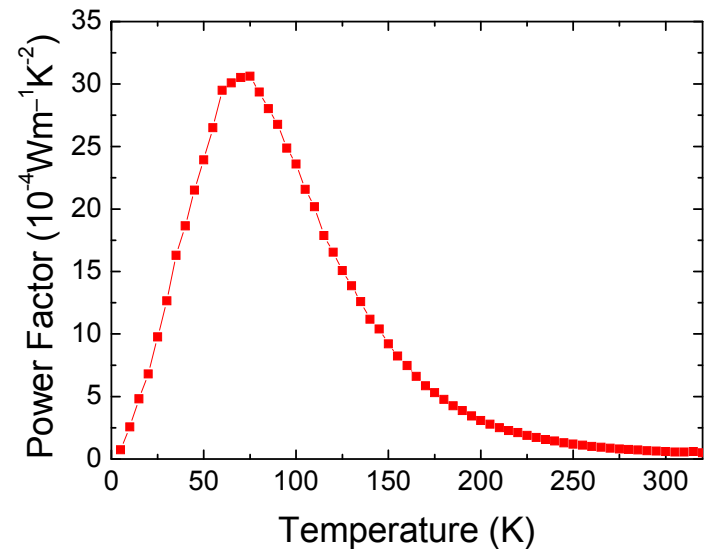
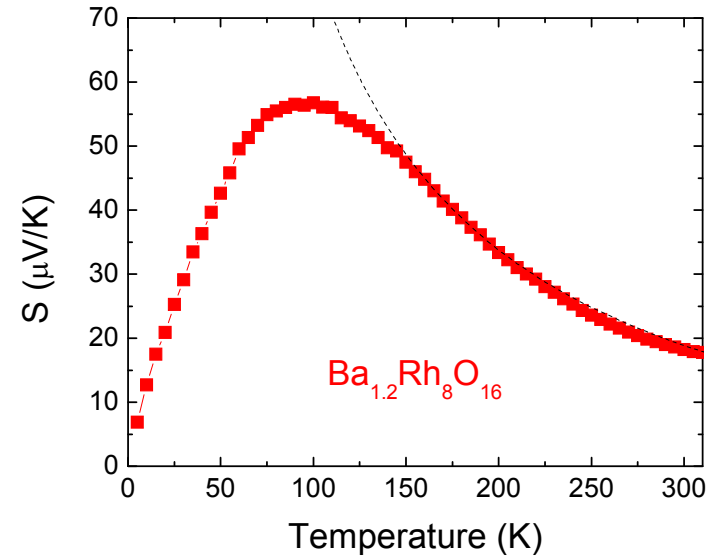
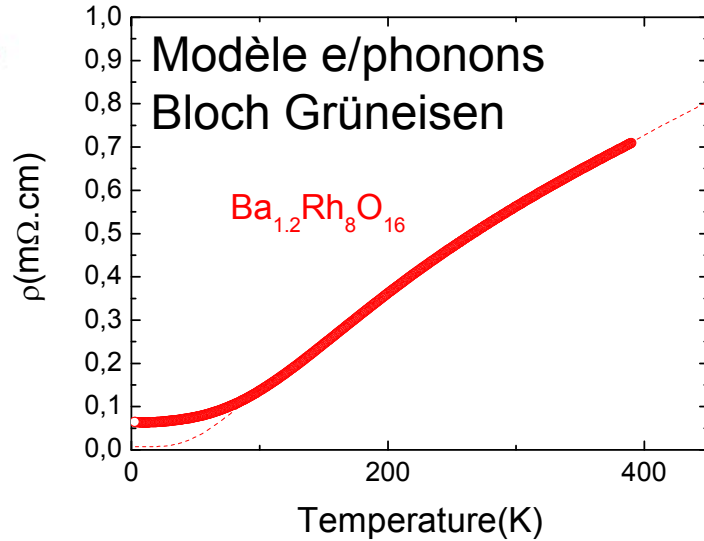
Tunnels made of edge shared octahedra

Needle like single crystals

Hall effect :  $1.01 \times 10^{22} \text{ cm}^{-3}$  at 300K

For comparison :  $190 \cdot 10^{-4} \text{ Wm}^{-1}\text{K}^{-2}$   
for Na<sub>0.88</sub>CoO<sub>2</sub> at 75K

*W.Kobayashi et al., PRB79, 085207 (2009)*



# Conductivité thermique

Mesures sur monocristaux par la méthode d'Harman

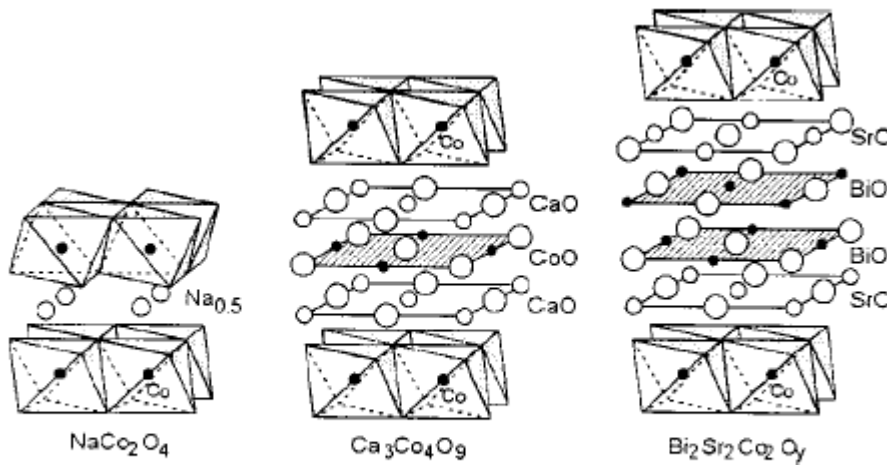
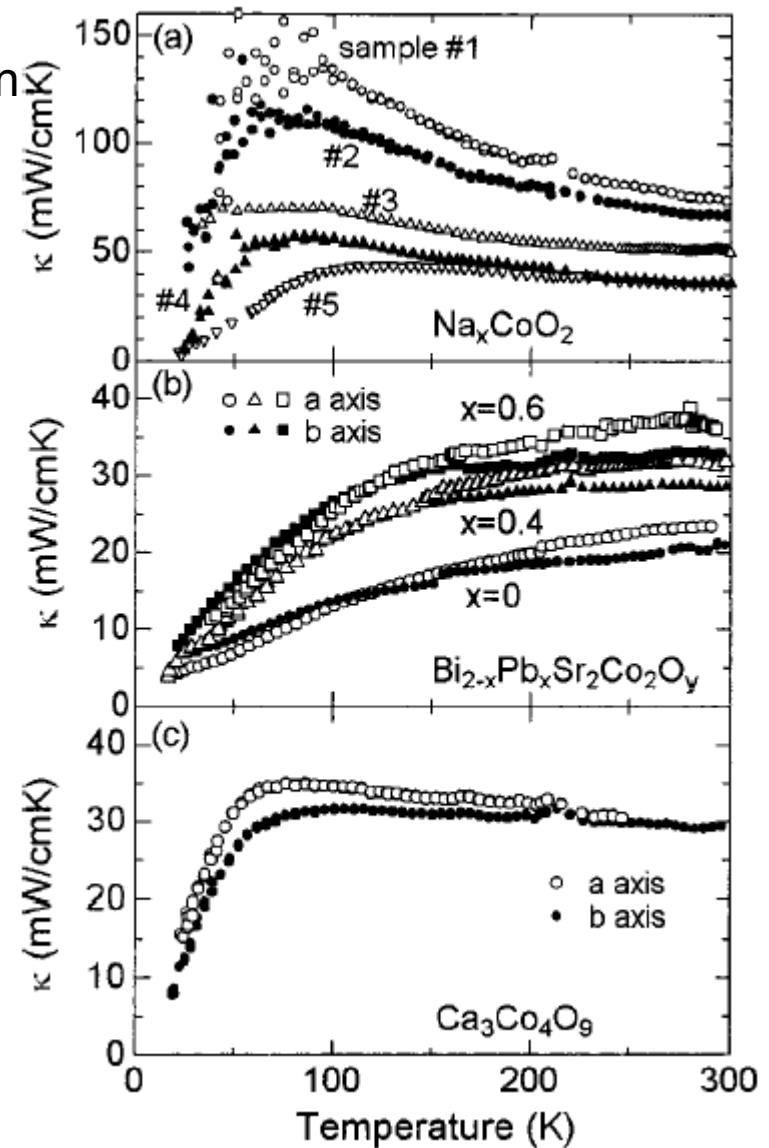


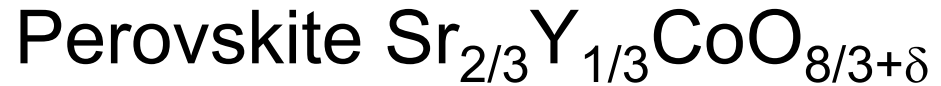
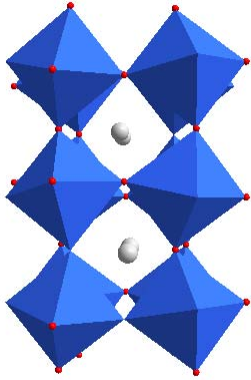
FIG. 1. Crystal structure of the layered cobalt oxides.

$\kappa$  légèrement plus faible dans les misfits

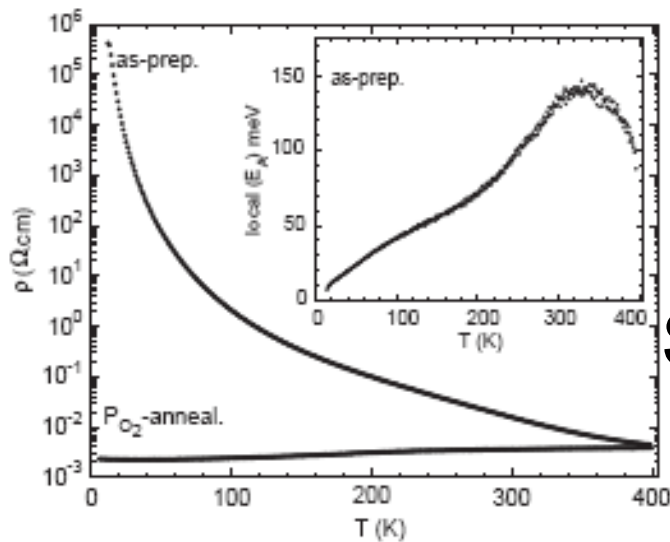
Influence de l'incommensurabilité?



# Comportement unique des plans $\text{CdI}_2$ : Comparaison avec d'autres oxydes

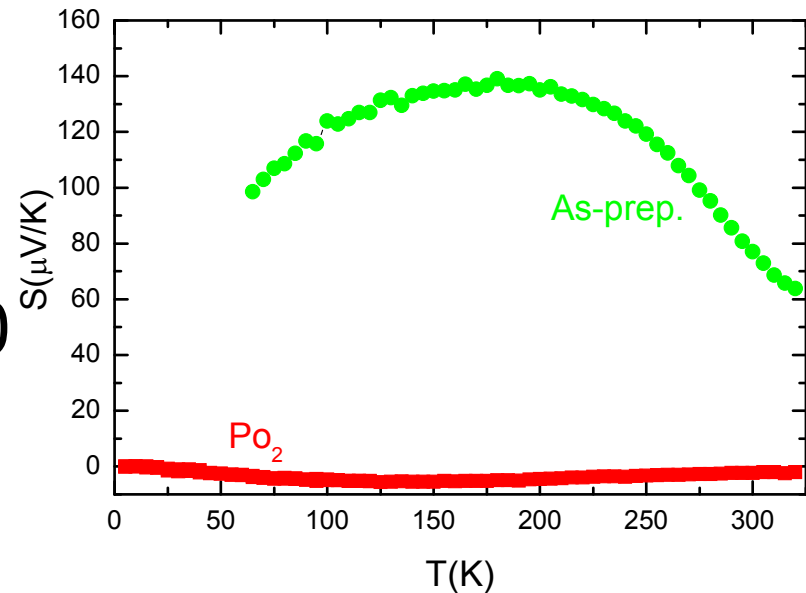


Octaèdres liés par les sommets  
( $\neq$  liés par les arêtes)



Métallicité

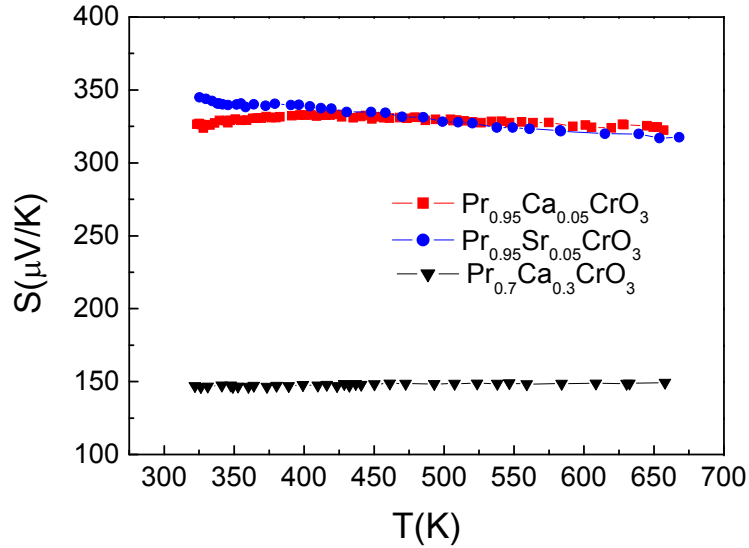
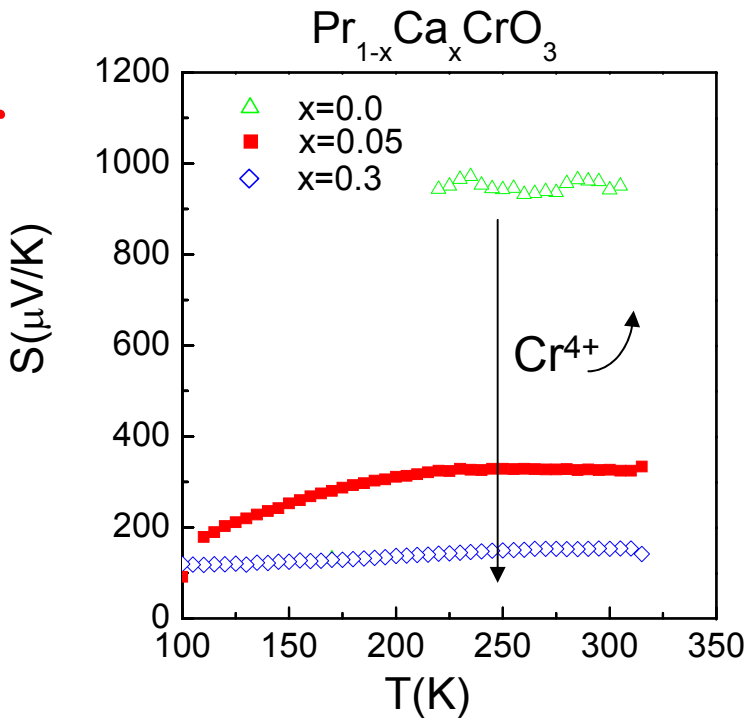
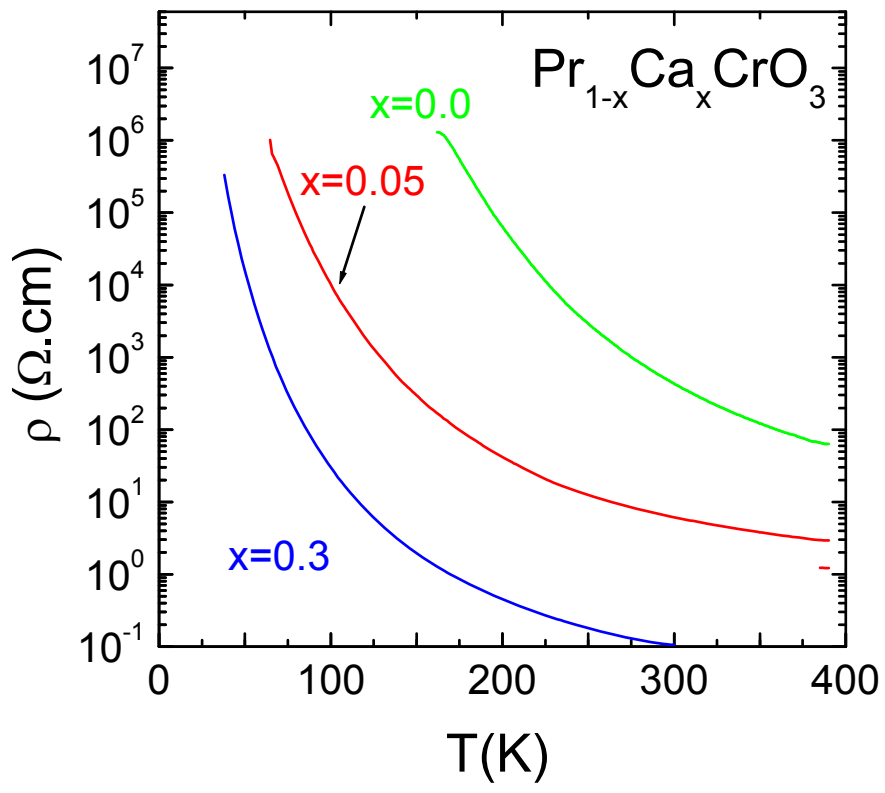
Seebeck  $\approx 0$



Type p :  $Pr_{1-x}Ca_xCrO_3$

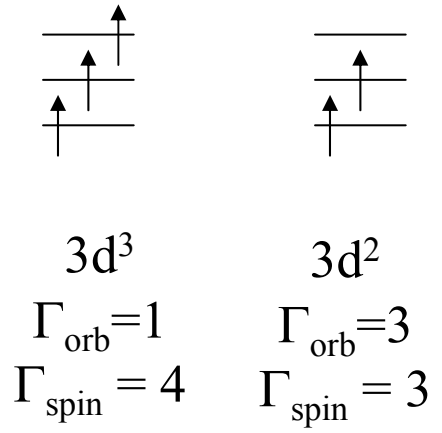
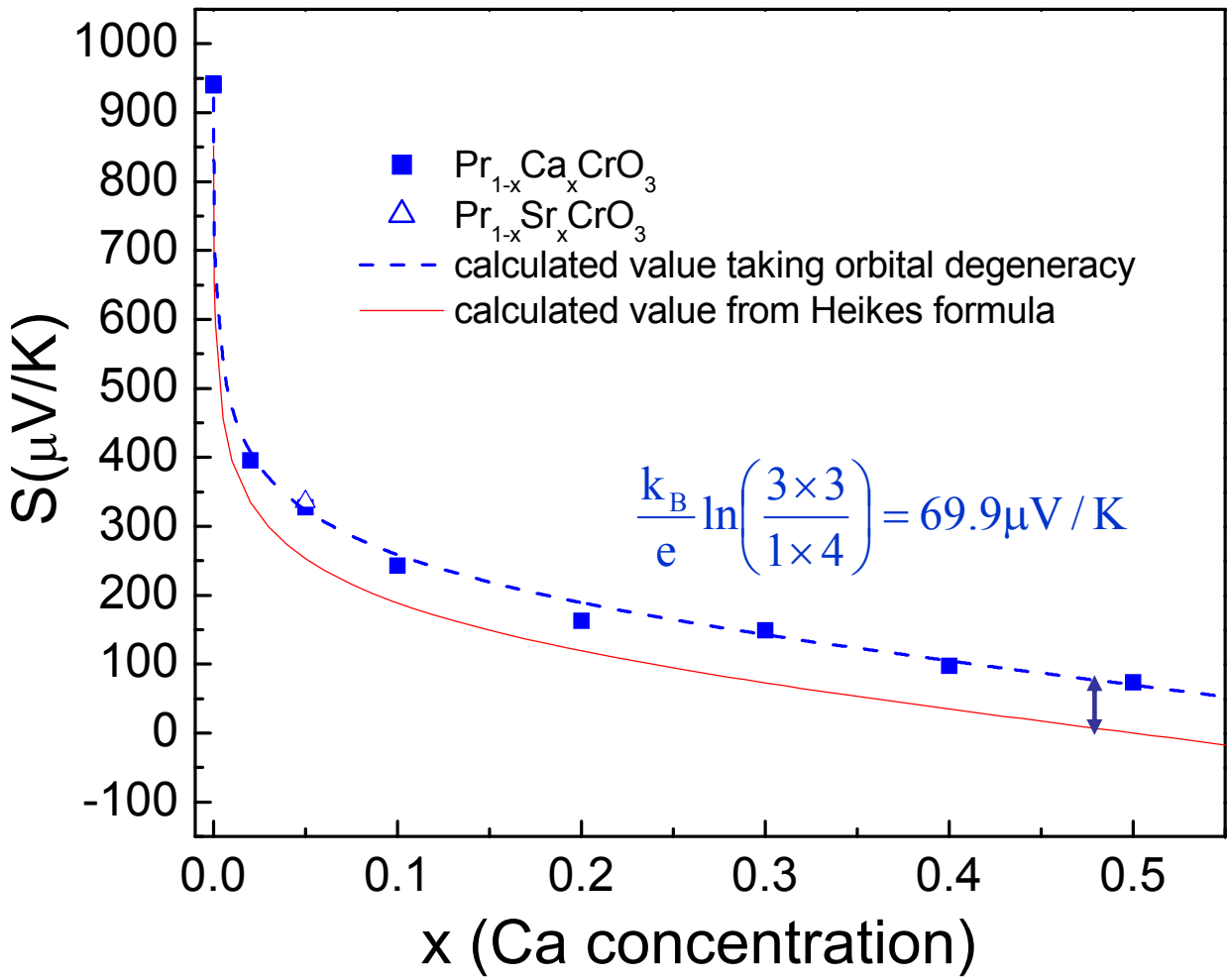
# Les orthochromites

## Comportement semi-conducteur



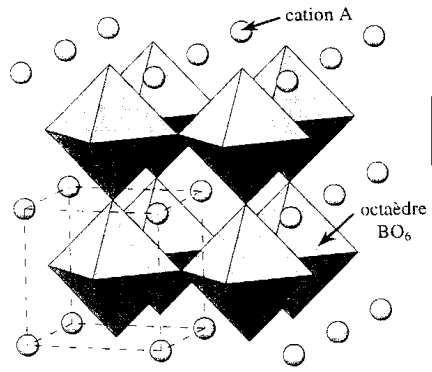
Type p :  $Pr_{1-x}Ca_xCrO_3$

**Formule de Heikes, avec dégénérescence de spin et d'orbitales**



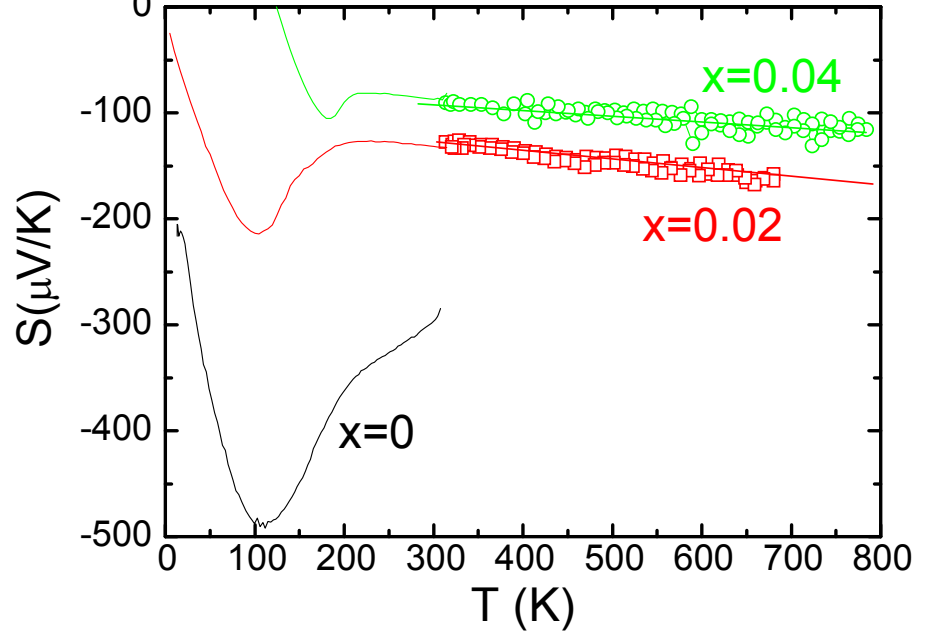
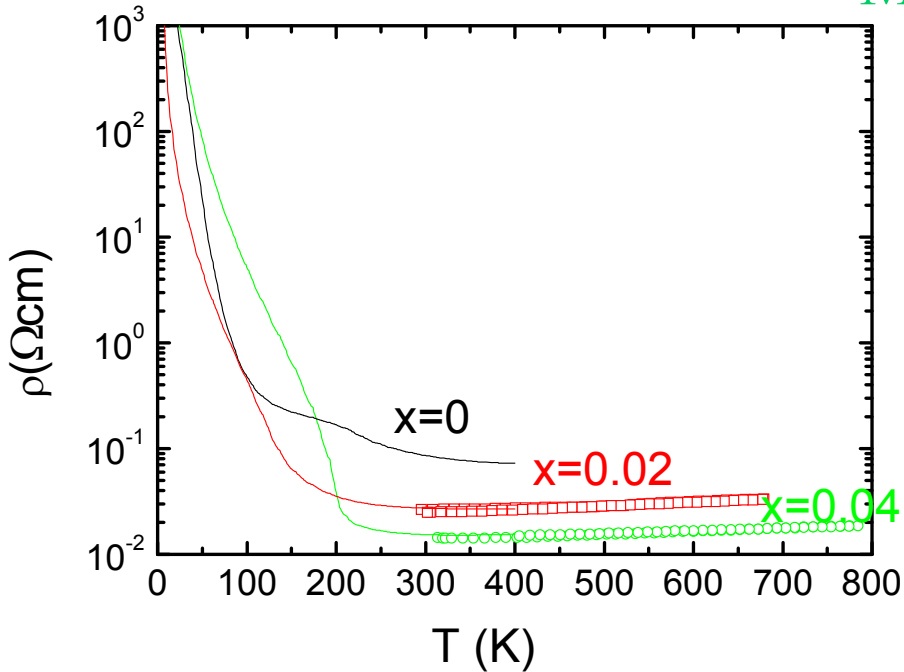
$$S = \frac{-k_B}{|e|} \ln\left(\frac{1-x}{x}\right) + \frac{k_B}{|e|} \ln(\Gamma_{orb} \Gamma_{spin})$$





# n type : Manganese oxides SrMn<sub>1-x</sub>Mo<sub>x</sub>O<sub>3</sub>

SrMnO<sub>3</sub> : Mn<sup>4+</sup>

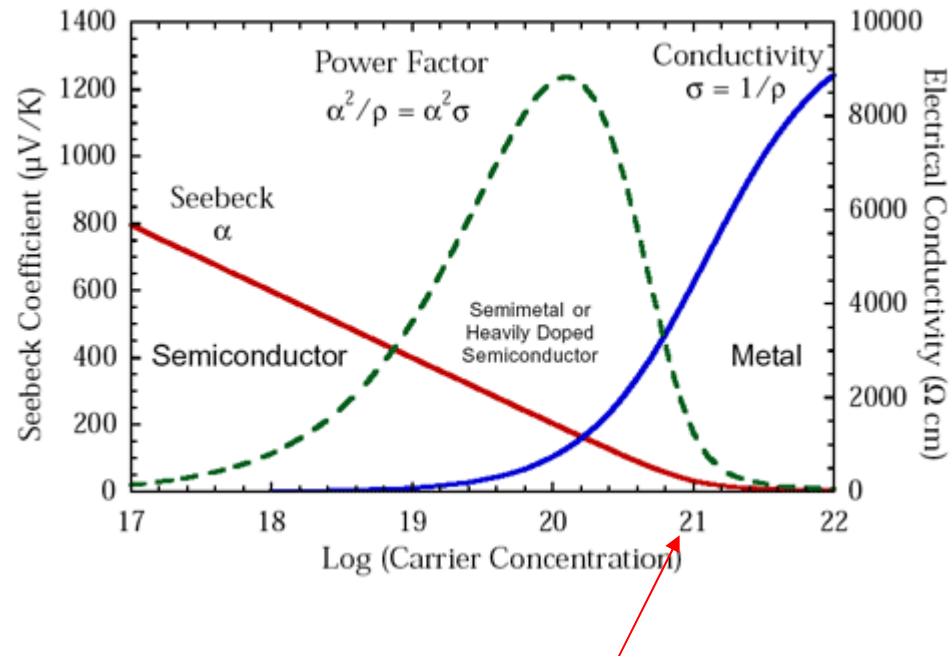


Metallic up to high  $T$  /  $S$  linear in  $T$  :  $S = \pi^2 \times k_B / 3e \times k_B T (\partial \ln \sigma(E) / \partial E)$

Power factor increases as  $T$  increases :

$$\text{PF} = 9.10^{-4} \text{Wm}^{-1} \text{K}^{-2} \text{ for } x=0.02 \text{ at } 800\text{K}$$

# Conclusion



## Misfits

- Taux de porteurs élevé  $\sim 10^{21}\text{ cm}^{-3}$
- Coexistence métallicité + valeur élevée de S
- Formule généralisée de Heikes , avec  $\beta = 1/2$

# Paramètre misfit

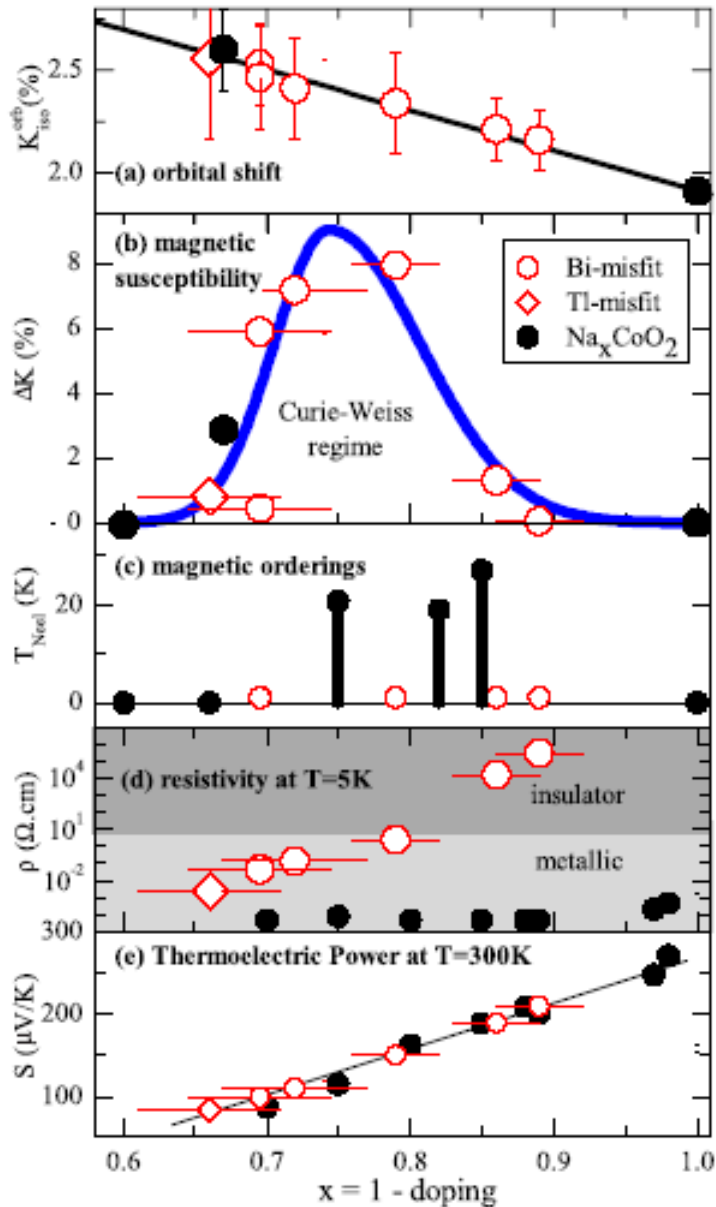
↪ Rôle crucial du dopage

$$v_{Co} = 4 - \frac{\alpha}{b_1 / b_2}$$

↪ Influence des plans séparateurs?

Résistivité

Conductivité thermique?



Co<sup>4+</sup> ← Co<sup>3+</sup>

# Collaborateurs

## Laboratoire CRISMAT

Wataru Kobayashi, Denis Pelloquin, Antoine Maignan,  
Charles Simon, Raymond Frésard

Patrice Limelette, [LEMA](#), Tours

## Collaborations

Julien Bobroff, Véronique Brouet, [LPS Orsay](#)

Jiri Hejtmanek, [Prague](#)